



COLLÈGE
DE FRANCE
— 1530 —

Algorithmes quantiques

Information quantique,
premières utilisations calculatoires

07-04-2021

Frédéric Magniez

Professeur invité sur la chaire Informatique et sciences numériques

En partenariat avec Inria

Année académique 2020-2021

frederic.magniez@college-de-france.fr

Présentation de la séance

- Présentation et fonctionnement de l'ensemble des cours et séminaires
- Cours I : Information quantique, premières utilisations
Superposition, mesure, transformation, non-clonage, distribution quantique de clés, téléportation
- Séminaire I : Réseaux de communication quantique
avec Eleni Diamanti, CNRS, Paris

8 Cours - 8 séminaires 7 avril - 9 juin 2021

- Cours : accessible à tous

Questions à

frederic.magniez@college-de-france.fr

Réponses au début du cours suivant

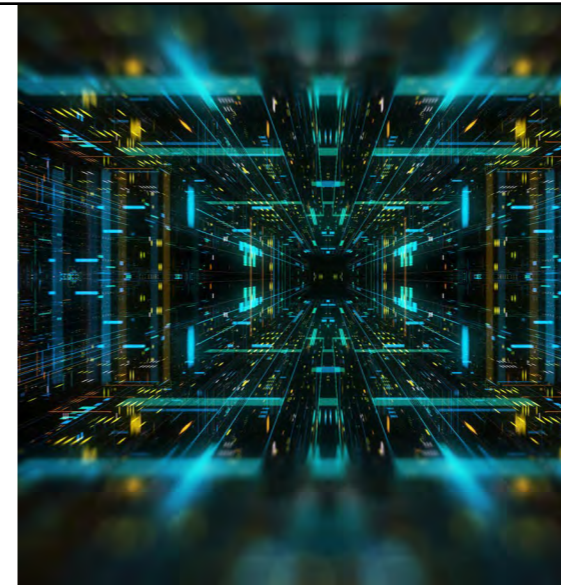
- Séminaires en prolongement de chaque cours

Questions à l'orateur par email

Réponses par email

- Enregistrement : Les mercredis 10h-12h30

- Diffusion : Dès le vendredi/samedi



COLLÈGE
DE FRANCE
1530

CHAIRE INFORMATIQUE ET SCIENCES NUMÉRIQUES
Année académique 2020-2021

Frédéric MAGNIEZ

Algorithmes quantiques

Cours les mercredis de 10h à 11h30,
suivis des séminaires de 11h30 à 12h30
Salle 5

- 07 avril 2021 **Cours** : Information quantique, premières utilisations calculatoires : superposition, mesure, transformation, non-clonage, distribution quantique de clés
Séminaire : Réseaux de communication quantique, Eleni DIAMANTI, CNRS, Paris
- 14 avril 2021 **Cours** : Cryptographie et communication quantiques : inégalités de Bell, tirage à pile ou face, mise en gage, certification
Séminaire : Certifier la génération de nombres aléatoires avec le quantique
Thomas VIDICK, California Institute of Technology
- 05 mai 2021 **Cours** : Circuits quantiques, premiers algorithmes : portes universelles, algorithmes de Deutsch-Jozsa et Bernstein-Vazirani, supériorité des algorithmes quantiques
Séminaire : Langages graphiques pour programmer et raisonner en informatique quantique
Simon PERDRIX, CNRS, Nancy
- 12 mai 2021 **Cours** : Transformée de Fourier quantique I : réalisation, estimation de phase, algorithmes de Simon et de Shor (recherche de période et factorisation) et généralisations récentes
Séminaire : Le problème du sous-groupe caché, Miklos SANTHA, CNRS, Paris et CQT, Singapour
- 19 mai 2021 **Cours** : Optimisation quantique : algorithme de Grover, estimateurs quantiques, chaînes de Markov quantiques, heuristiques quantiques
Séminaire : A Unified Framework for Quantum Walk Search, Stacey JEFFERY, CWI, Amsterdam
- 26 mai 2021 **Cours** : Transformée de Fourier quantique II : résolution ultra-rapide de systèmes linéaires et applications en technique d'apprentissage automatique
Séminaire : Quantum Machine Learning, Iordanis KERENIDIS, CNRS, Paris
- 02 juin 2021 **Cours** : Limites et impact du calcul quantique : complexité en requêtes, simulation classique, déquantisation d'algorithmes quantiques
Séminaire : Suprématie quantique : où en sommes-nous aujourd'hui ?
André CHAILLOUX, Inria, Paris
- 09 juin 2021 **Cours** : Derniers développements pour l'internet et intelligence artificielle quantique : apprentissage, optimisation, calcul délégué et sécurisé, calcul distribué
Séminaire : Quantum Computing as a Service:
Secure and Verifiable Multi-Tenant Quantum Data Centre
Elham KASHEFI, CNRS, Paris et University of Edinburgh

Chaire créée avec le soutien de

Inria

11, place Marcelin-Berthelot, 75005 Paris
www.college-de-france.fr

Thomas Römer
Administrateur du Collège de France

Partie I - Bases indispensables

- Premiers paradoxes quantiques
- Fondements de la cryptographie et de la communication quantiques.

07 avril 2021

Cours : Information quantique, premières utilisations calculatoires : superposition, mesure, transformation, non-clonage, distribution quantique de clés
Séminaire : Réseaux de communication quantique, Eleni DIAMANTI, *CNRS, Paris*

14 avril 2021

Cours : Cryptographie et communication quantiques : inégalités de Bell, tirage à pile ou face, mise en gage, certification
Séminaire : Certifier la génération de nombres aléatoires avec le quantique
Thomas VIDICK, *California Institute of Technology*



Partie 2 - Les bases algorithmiques

- Concepts du calcul et principales méthodes algorithmiques
- Mise en évidence de propriétés algébriques (déchiffrement)
- Optimisation et applications algorithmiques

05 mai 2021

Cours : Circuits quantiques, premiers algorithmes : portes universelles, algorithmes de Deutsch-Jozsa et Bernstein-Vazirani, supériorité des algorithmes quantiques

Séminaire : Langages graphiques pour programmer et raisonner en informatique quantique
Simon PERDRIX, CNRS, Nancy

12 mai 2021

Cours : Transformée de Fourier quantique I : réalisation, estimation de phase, algorithmes de Simon et de Shor (recherche de période et factorisation) et généralisations récentes

Séminaire : Le problème du sous-groupe caché, Miklos SANTHA, CNRS, Paris et CQT, Singapour

19 mai 2021

Cours : Optimisation quantique : algorithme de Grover, estimateurs quantiques, chaînes de Markov quantiques, heuristiques quantiques

Séminaire : A Unified Framework for Quantum Walk Search, Stacey JEFFERY, CWI, Amsterdam



Partie 3 - Algorithmique avancée

- Apprentissage automatique
- Limites du calcul quantique
- Usage décentralisé de type Internet.

26 mai 2021

Cours : Transformée de Fourier quantique II : résolution ultra-rapide de systèmes linéaires et applications en technique d'apprentissage automatique

Séminaire : Quantum Machine Learning, Iordanis KERENIDIS, CNRS, Paris

02 juin 2021

Cours : Limites et impact du calcul quantique : complexité en requêtes, simulation classique, déquantization d'algorithmes quantiques

Séminaire : Suprématie quantique : où en sommes-nous aujourd'hui ?
André CHAILLOUX, Inria, Paris

09 juin 2021

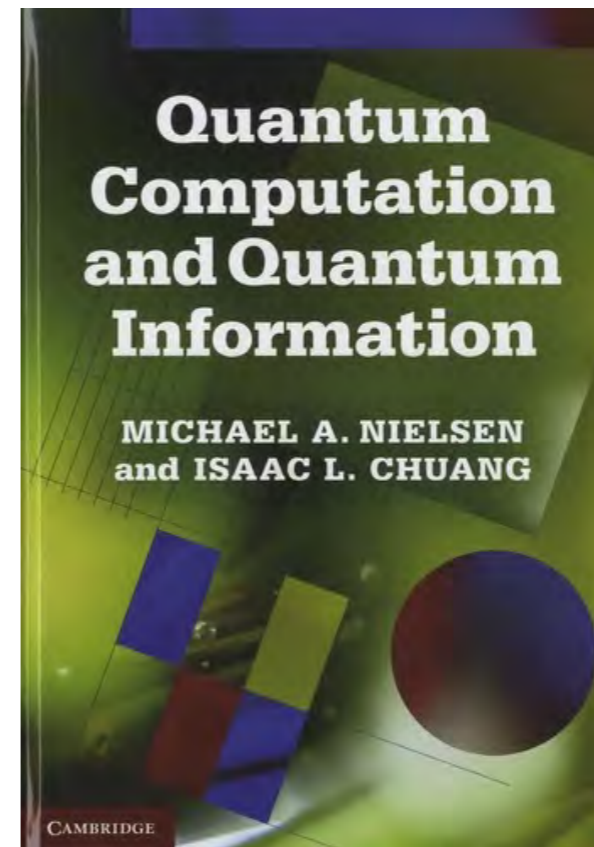
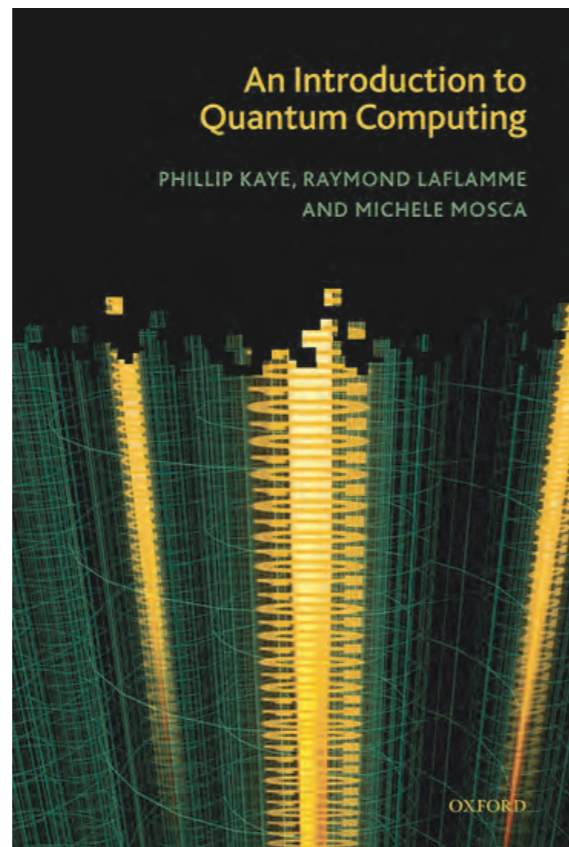
Cours : Derniers développements pour l'internet et intelligence artificielle quantique : apprentissage, optimisation, calcul délégué et sécurisé, calcul distribué

Séminaire : Quantum Computing as a Service:
Secure and Verifiable Multi-Tenant Quantum Data Centre
Elham KASHEFI, CNRS, Paris et University of Edinburgh



Livres de référence (mais anciens)

- *An Introduction to Quantum Computing*. Kaye, Laflamme, Mosca. Oxford University Press.
- *Quantum Computation and Quantum Information*. Nielsen, Chuang. Cambridge: Cambridge University Press.



Algorithmes

- Notes de cours

Ronald de Wolf : <https://homepages.cwi.nl/~rdewolf/qcnotes.pdf>

Andrew Childs : <https://www.cs.umd.edu/~amchilds/qa/qa.pdf>

- Quantum algorithm zoo

<https://quantumalgorithmzoo.org>

Programmation

- Qiskit

<https://qiskit.org>

- Beaucoup d'autres possibilités

https://en.wikipedia.org/wiki/Quantum_programming

Méthode quantique

- "Survey" de Andrew Drucker et Ronald de Wolf

<http://theoryofcomputing.org/articles/gs002/gs002.pdf>

Algorithmes quantiques

Cours I - 6/04/2021

Information quantique,
premières utilisations calculatoires :
superposition, mesure, transformation, non-clonage,
distribution quantique de clés, téléportation

Ecole de Copenhague (Bohr, Heisenberg, ...) 1920-30

- Parler des propriétés physiques d'un système indépendamment de mesure n'a pas de sens

L'état d'une particule quantique n'est fixé qu'après une mesure



Utilisation en informatique quantique

- Protocole quantique de chiffrement [Bennett, Brassard'84]
Sécurité basée sur les lois de la physique quantique...
et utilisable en pratique !



Prototype 1984



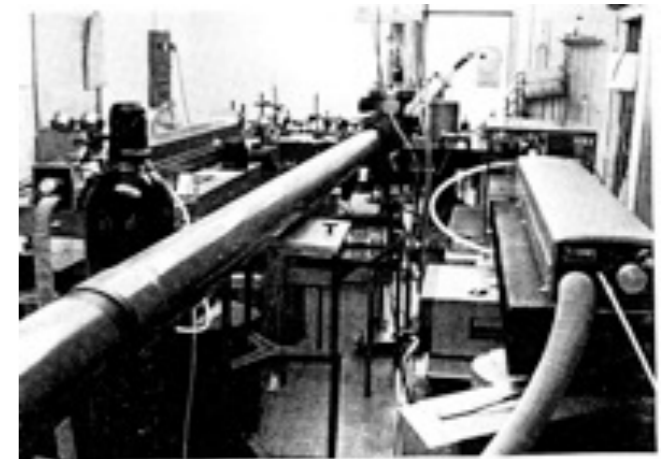
Satellite chinois dédié aux communications quantiques 2016

Paradoxe d'Einstein, Podolsky, Rosen 1935

- Des particules très éloignées restent-elles liées !?



- Aspect, Grangier, Roger, Dalibard'80-82 : Oui !



Matériel de l'expérience d'Aspect à Orsay'82

Utilisation en informatique (pour ce cours)

- Téléportation quantique : [Bennett, Brassard, Crépeau, Jozsa, Peres, Wootters'93]
 - | photon [Popescu et al : Rome'97][Zeilinger et al : Innsbruck'97]
 - | photon, 6 km [Gisin et al : Genève'02]
 - | atome [Blatt et al : Innsbruck'04]
 - Par satellite (1400km) [Pan et al : Tibet'17]



Expérience de téléportation, Australie'02.



Un filtre

- Peu importe l'orientation : l'intensité de lumière est identique

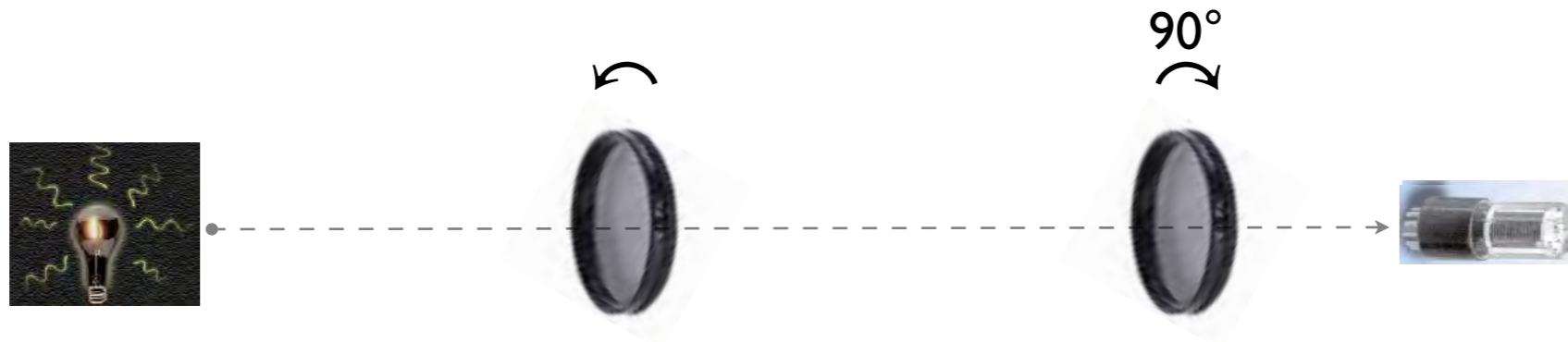


Un filtre

- Peu importe l'orientation : l'intensité de lumière est identique

Deux filtres identiques

- Sur un écart : l'intensité est identique
- Sur un autre décalé de 90° : l'intensité est nulle

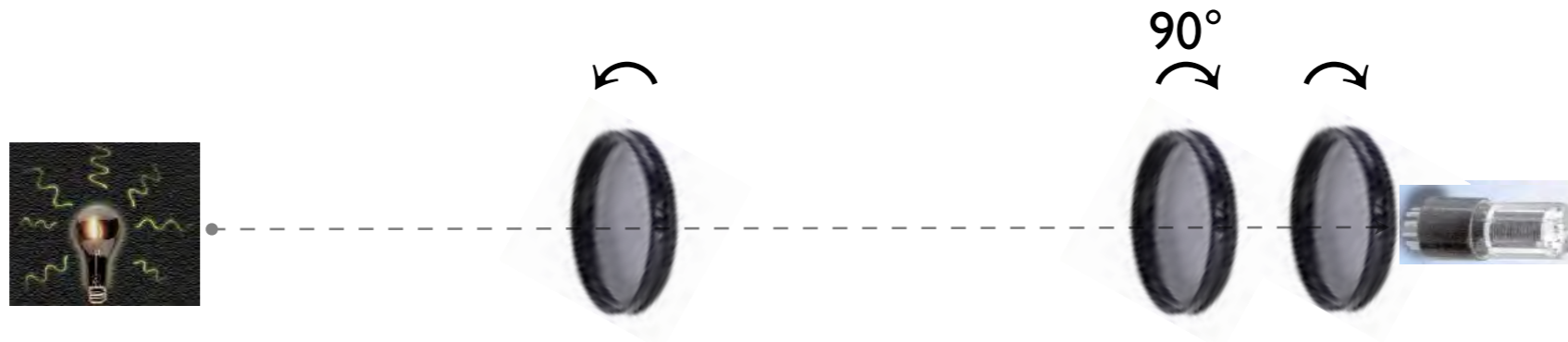


Un filtre

- Peu importe l'orientation : l'intensité de lumière est identique

Deux filtres identiques

- Sur un écart : l'intensité est identique
- Sur un autre décalé de 90° : l'intensité est nulle



Un filtre

- Peu importe l'orientation : l'intensité de lumière est identique

Deux filtres identiques

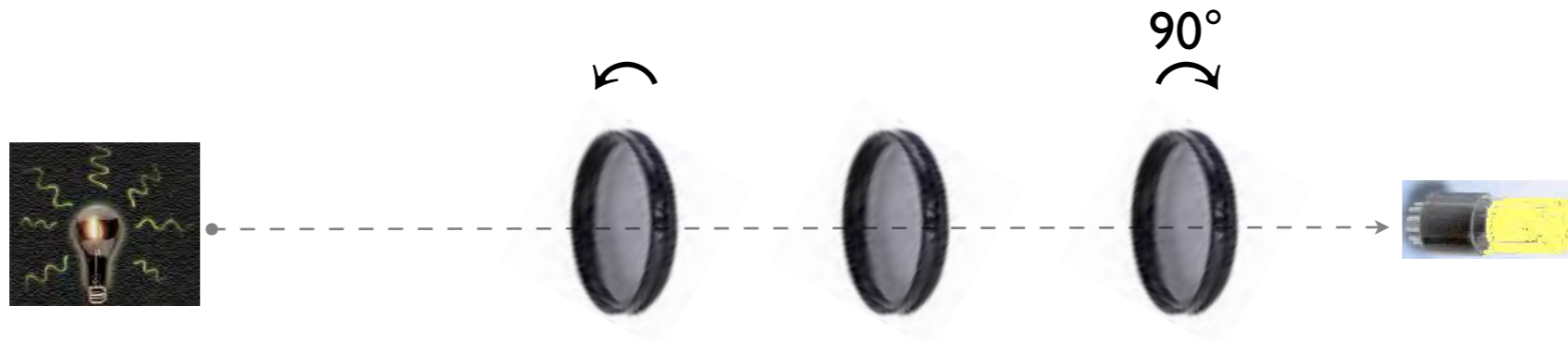
- Sur un écart : l'intensité est identique
- Sur un autre décalé de 90° : l'intensité est nulle

Trois filtres identiques

- Si le filtre est en dernier, l'intensité reste nulle (peu importe la rotation)
- S'il est en 2e

Sur un écart : la lumière réapparaît jusqu'à 25% d'intensité

Sur un autre décalé de 45° : l'intensité est à nouveau nulle



Un filtre

- Peu importe l'orientation : l'intensité de lumière est identique

Deux filtres identiques

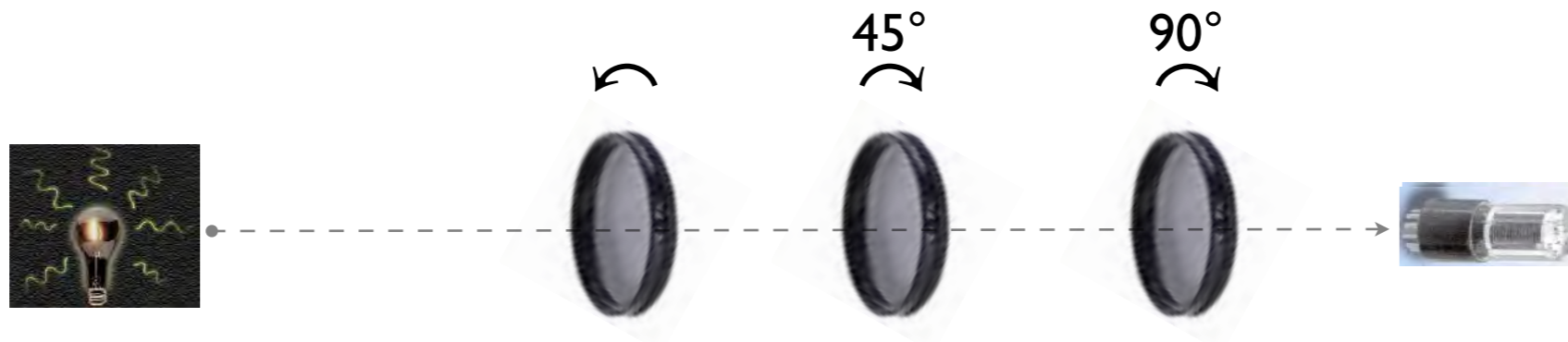
- Sur un écart : l'intensité est identique
- Sur un autre décalé de 90° : l'intensité est nulle

Trois filtres identiques

- Si le filtre est en dernier, l'intensité reste nulle (peu importe la rotation)
- S'il est en 2e

Sur un écart : la lumière réapparaît jusqu'à 25% d'intensité

Sur un autre décalé de 45° : l'intensité est à nouveau nulle



Un filtre

- Peu importe l'orientation : l'intensité de lumière est identique

Deux filtres identiques

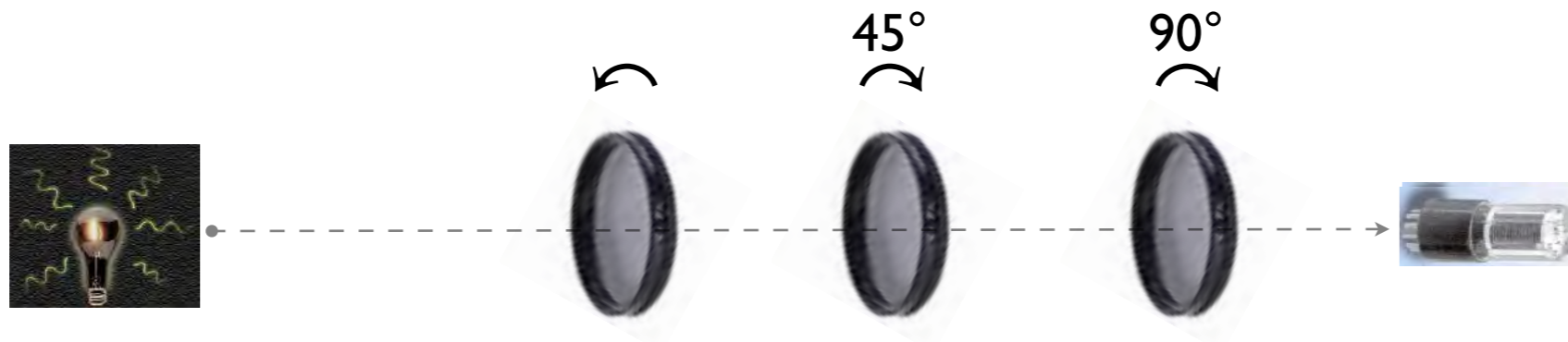
- Sur un écart : l'intensité est identique
- Sur un autre décalé de 90° : l'intensité est nulle

Trois filtres identiques

- Si le filtre est en dernier, l'intensité reste nulle (peu importe la rotation)
- S'il est en 2e

Sur un écart : la lumière réapparaît jusqu'à 25% d'intensité

Sur un autre décalé de 45° : l'intensité est à nouveau nulle



Un filtre

- Peu importe l'orientation : l'intensité de lumière est identique

Deux filtres identiques

- Sur un écart : l'intensité est identique
- Sur un autre décalé de 90° : l'intensité est nulle

Trois filtres identiques

- Si le filtre est en dernier, l'intensité reste nulle (peu importe la rotation)
- S'il est en 2e

Sur un écart : la lumière réapparaît jusqu'à 25% d'intensité

Sur un autre décalé de 45° : l'intensité est à nouveau nulle

Conclusion

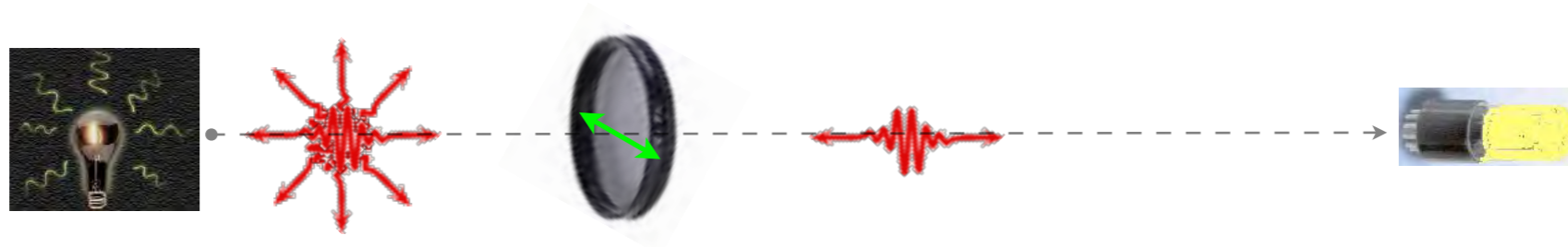


L'ordre des filtres est important



Caractéristiques de la lumière et des photons

- direction, longueur d'onde, **polarisation**

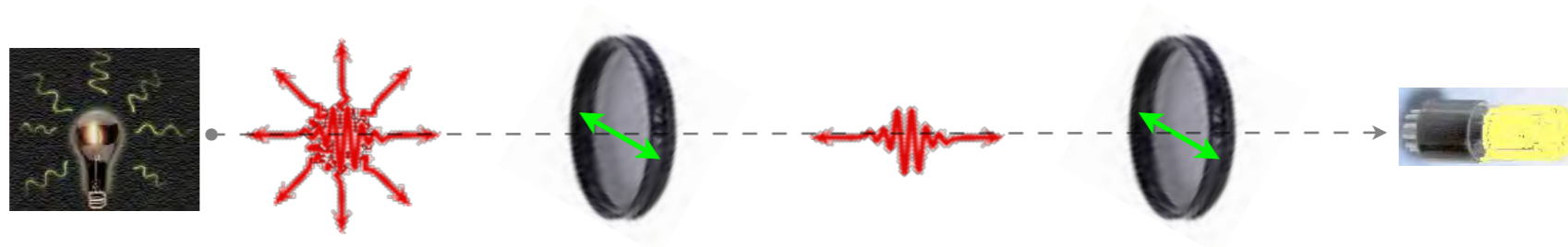


Caractéristiques de la lumière et des photons

- direction, longueur d'onde, **polarisation**

Sortie d'un filtre polarisant

- Lumière **polarisée** selon la **direction** du filtre.
- Lumière **parallèle** au filtre passe.
- Lumière **orthogonale** au filtre ne passe pas.

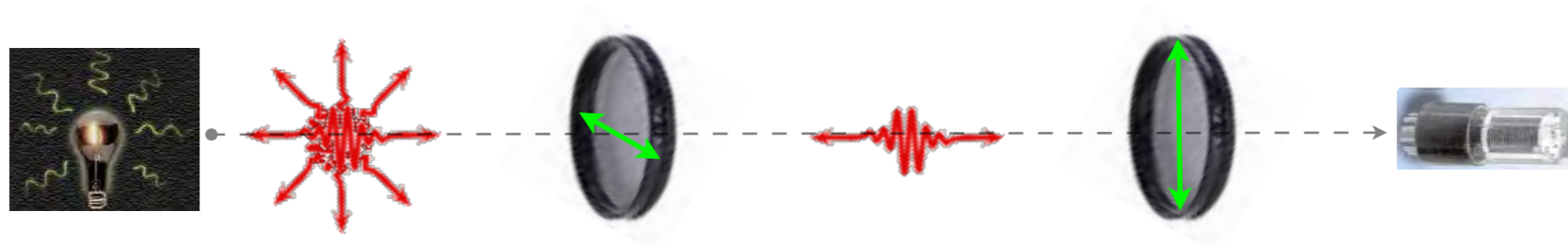


Caractéristiques de la lumière et des photons

- direction, longueur d'onde, **polarisation**

Sortie d'un filtre polarisant

- Lumière **polarisée** selon la **direction** du filtre.
- Lumière **parallèle** au filtre passe.
- Lumière **orthogonale** au filtre ne passe pas.

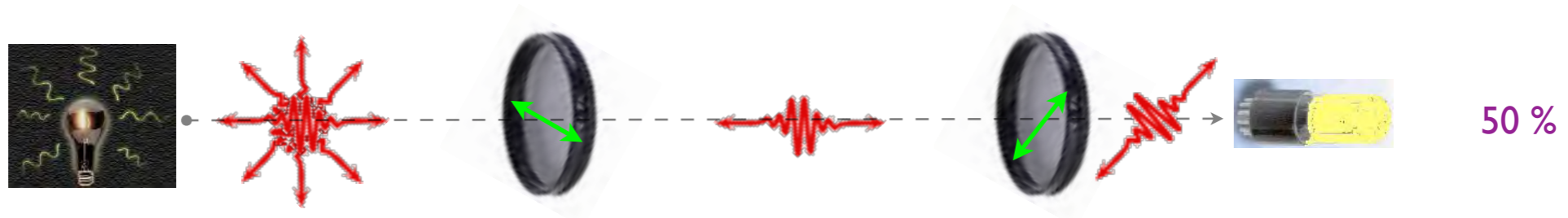


Caractéristiques de la lumière et des photons

- direction, longueur d'onde, **polarisation**

Sortie d'un filtre polarisant

- Lumière **polarisée** selon la **direction** du filtre.
- Lumière **parallèle** au filtre passe.
- Lumière **orthogonale** au filtre ne passe pas.



Caractéristiques de la lumière et des photons

- direction, longueur d'onde, **polarisation**

Sortie d'un filtre polarisant

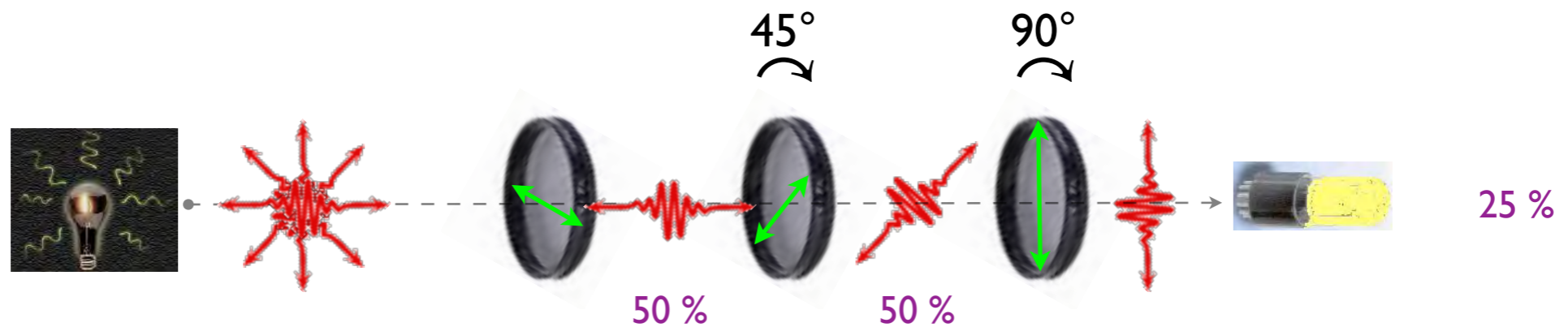
- Lumière **polarisée** selon la **direction** du filtre.
- Lumière **parallèle** au filtre passe.
- Lumière **orthogonale** au filtre ne passe pas.

Polarisation 45°

- La lumière passe mais diminuée de 50%
Un photon sur deux est passé
et se retrouve donc polarisé à 45°



Le filtre modifie la polarisation



Premier filtre

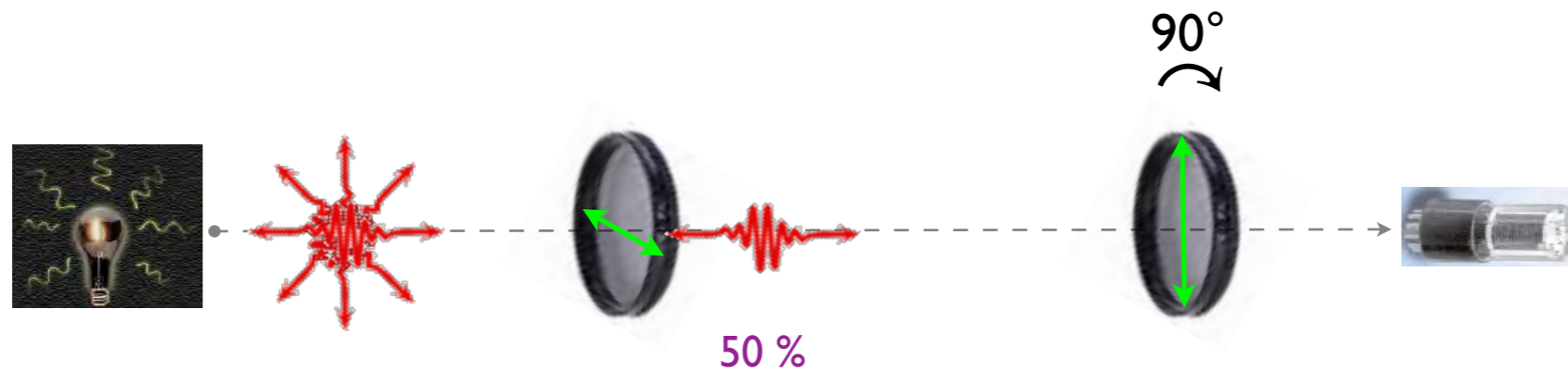
- La lumière est polarisée, par exemple horizontalement

Deuxième filtre

- La lumière est polarisée à 45° , mais perd 50% de son intensité
Un photon sur deux est passé

Troisième filtre

- La lumière est polarisée à 90° , mais perd encore 50% de son intensité
Encore un photon sur deux est passé
soit au total 25%



Premier filtre

- La lumière est polarisée, par exemple horizontalement

Deuxième filtre

- La lumière est polarisée à 45° , mais perd 50% de son intensité
Un photon sur deux est passé

Troisième filtre

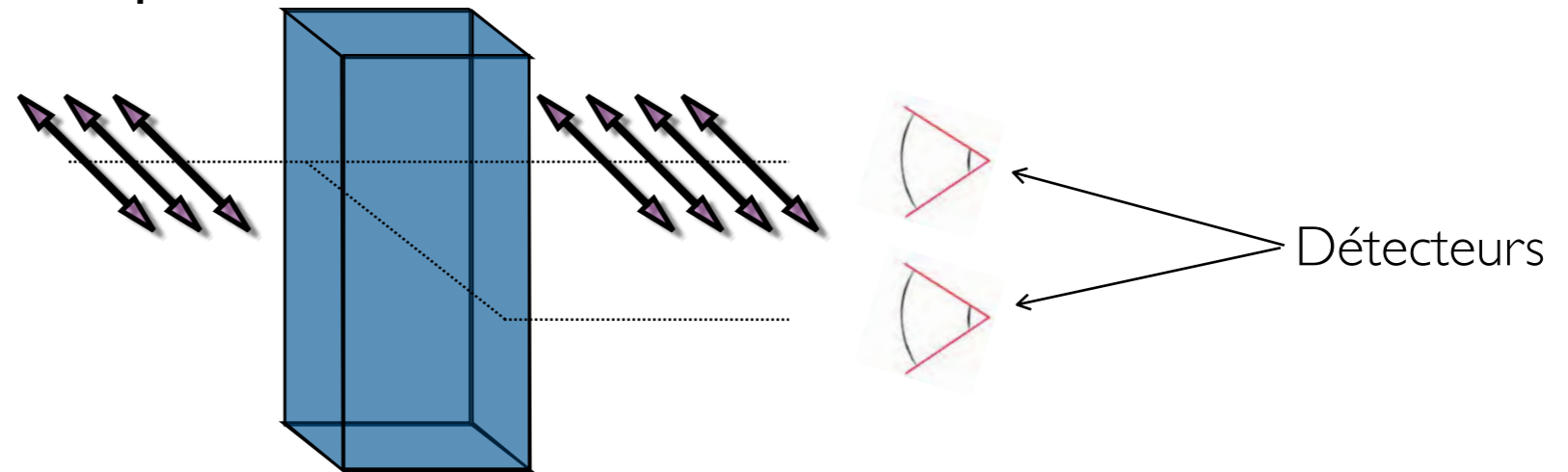
- La lumière est polarisée à 90° , mais perd encore 50% de son intensité
Encore un photon sur deux est passé
soit au total 25%

Suppression 2e filtre

- La polarisation est orthogonale au dernier filtre, donc pas d'intensité

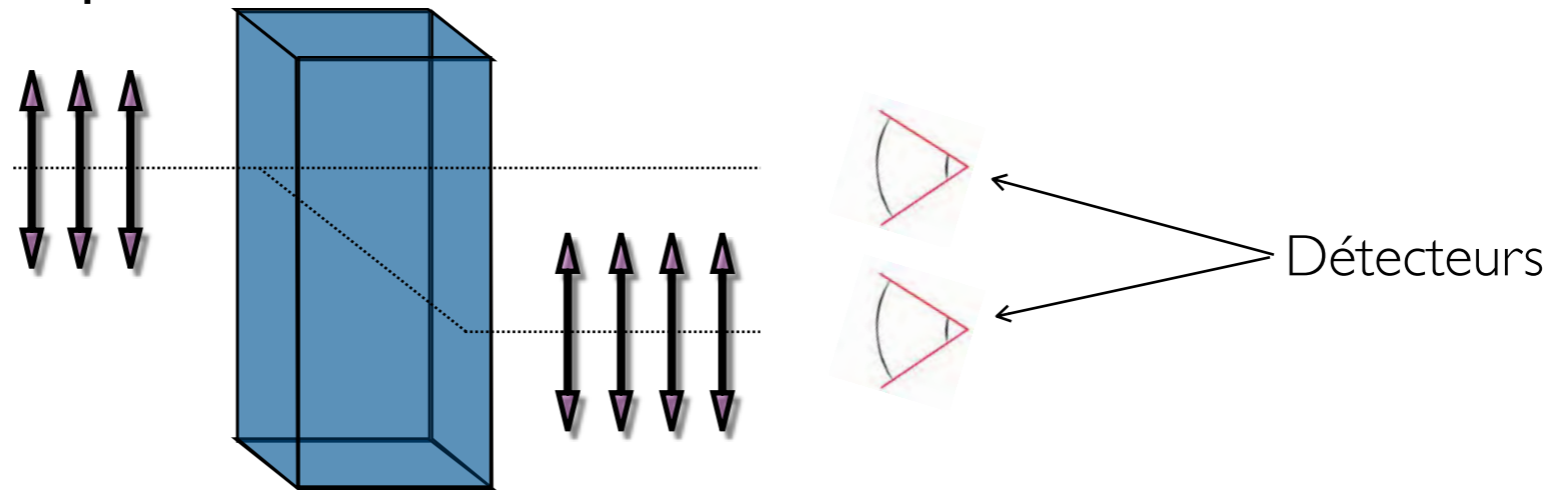
Cristal biréfringent (exemple : Calcite)

- Cristal sépare les polarisation horizontales et verticales



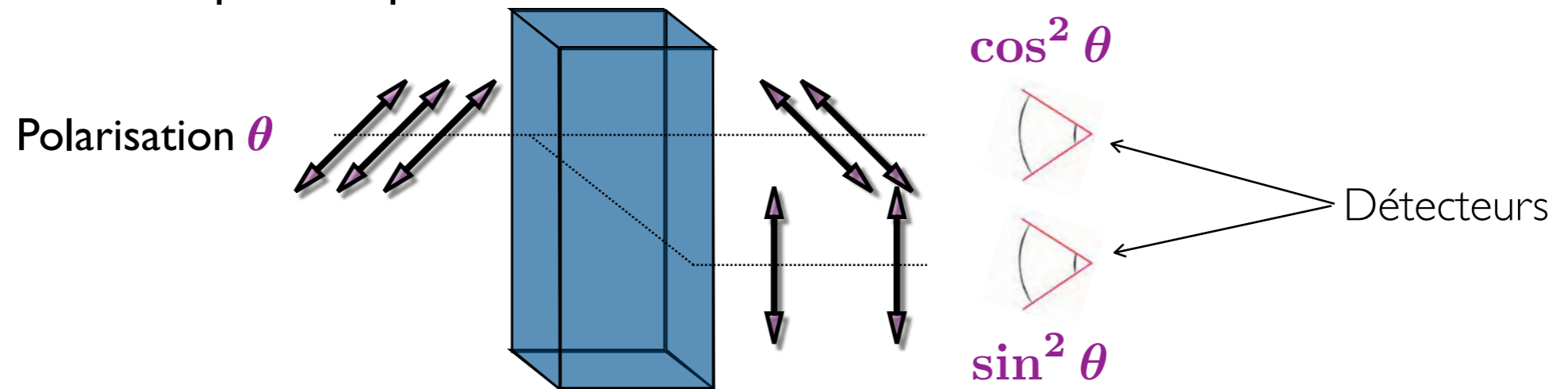
Cristal biréfringent (exemple : Calcite)

- Cristal sépare les polarisation horizontales et verticales



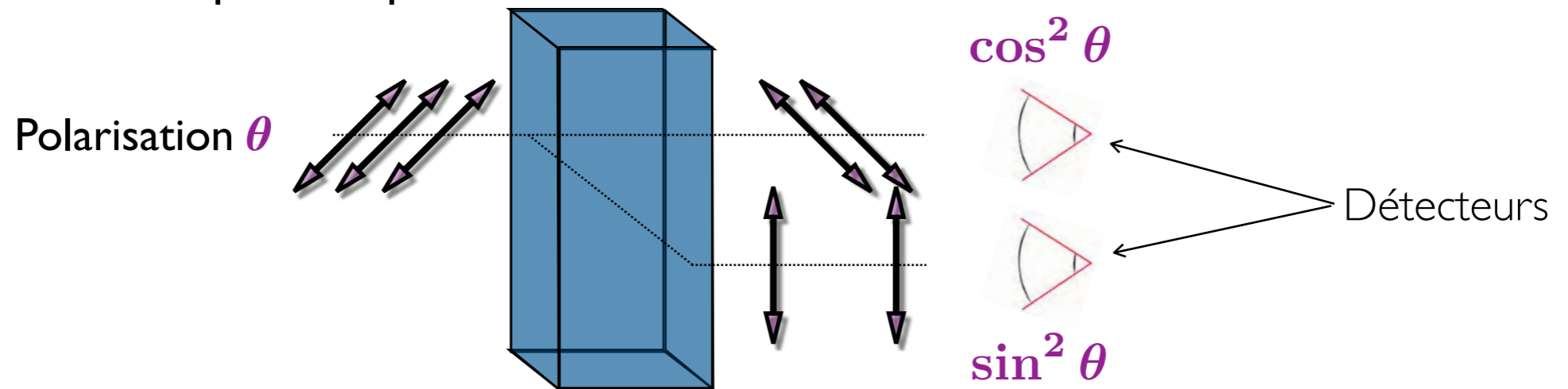
Cristal biréfringent (exemple : Calcite)

- Cristal sépare les polarisation horizontales et verticales



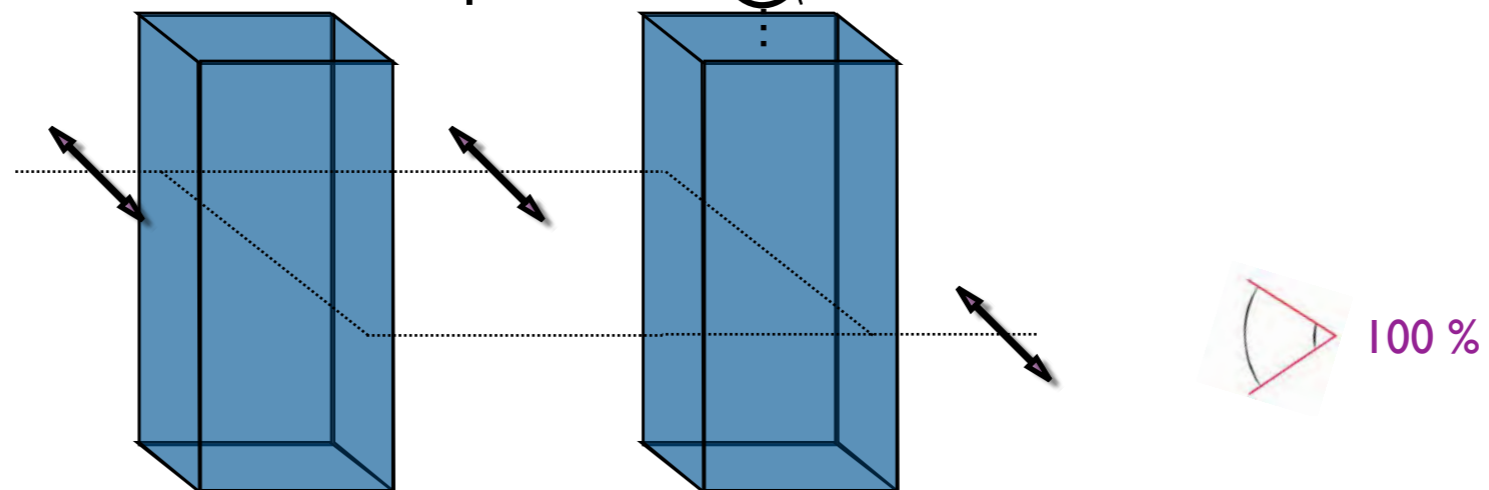
Cristal biréfringent (exemple : Calcite)

- Cristal sépare les polarisation horizontales et verticales



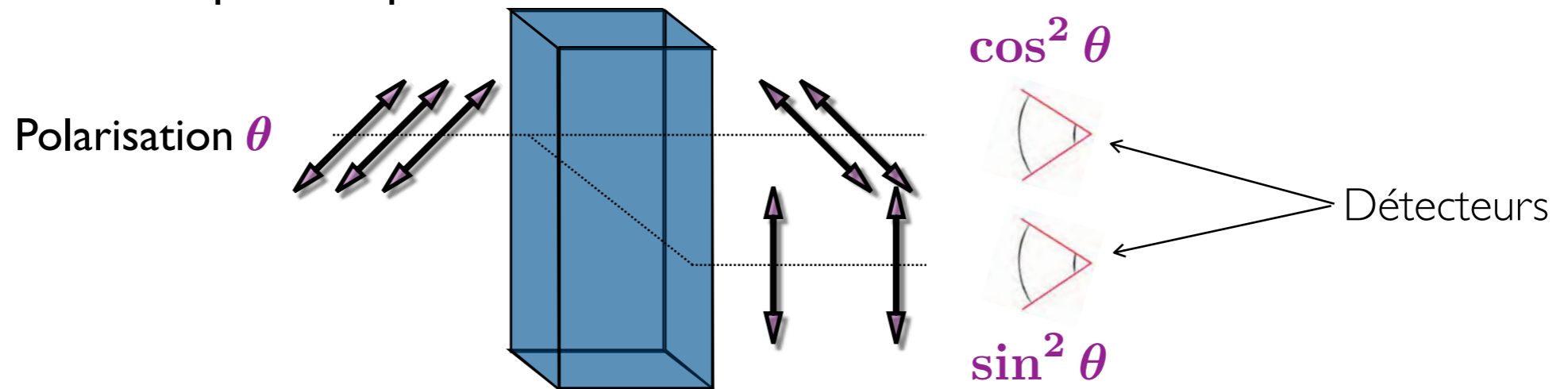
Deux cristaux en cascade (interféromètre)

- Par où passent "vraiment" les photons ?



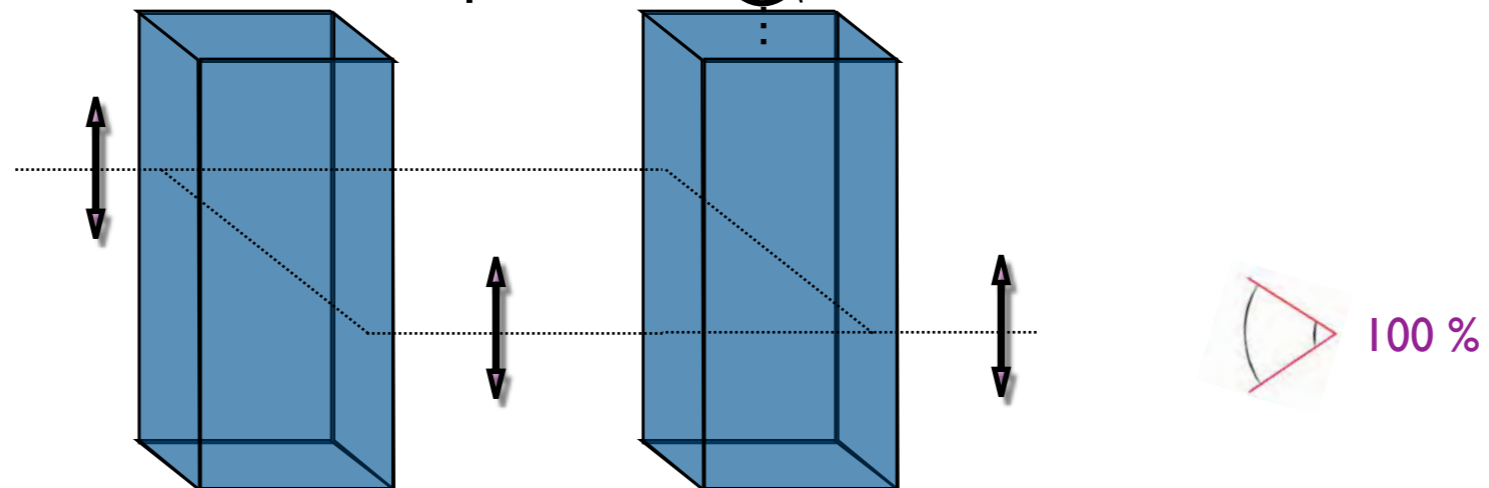
Cristal biréfringent (exemple : Calcite)

- Cristal sépare les polarisation horizontales et verticales



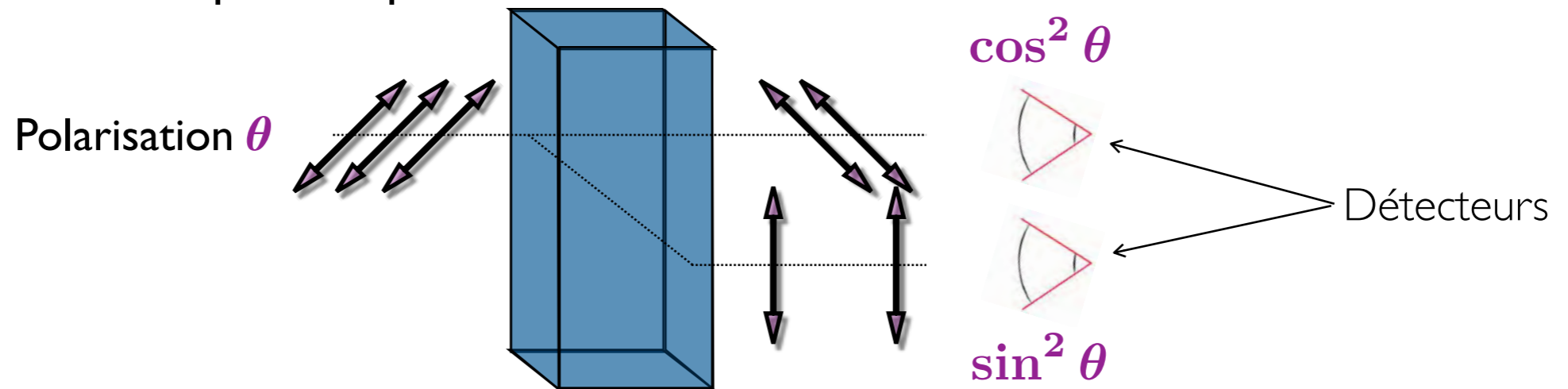
Deux cristaux en cascade (interféromètre)

- Par où passent "vraiment" les photons ?



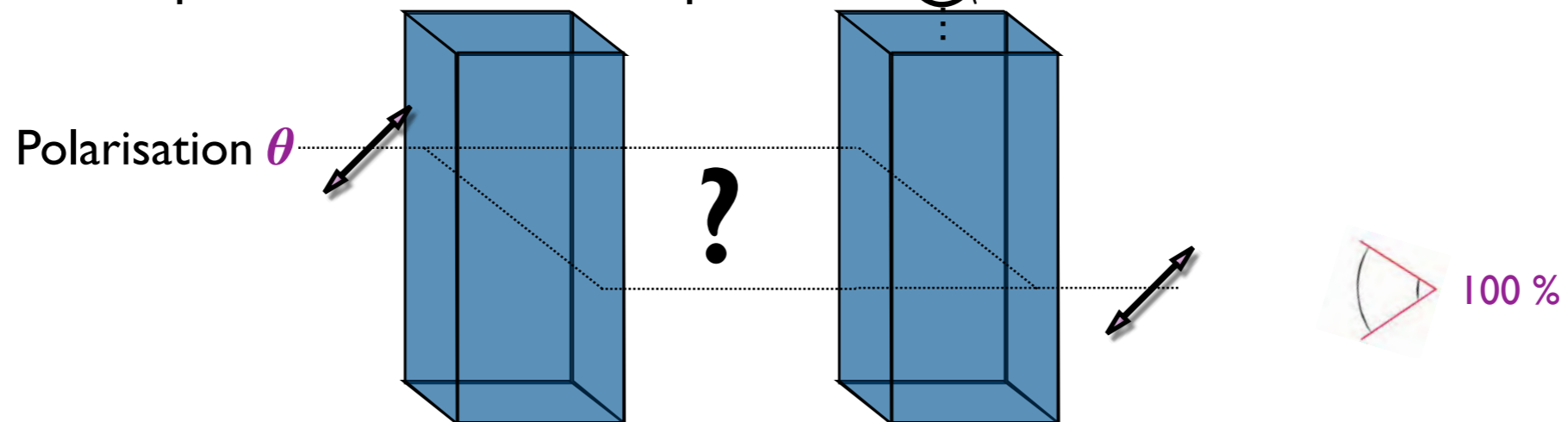
Cristal biréfringent (exemple : Calcite)

- Cristal sépare les polarisation horizontales et verticales



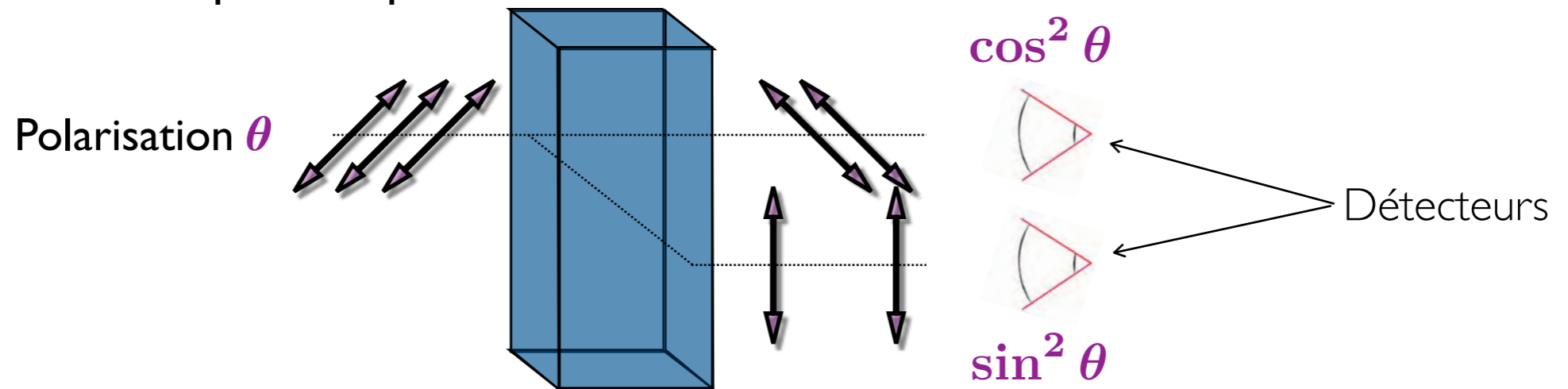
Deux cristaux en cascade (interféromètre)

- Par où passent "vraiment" les photons ?



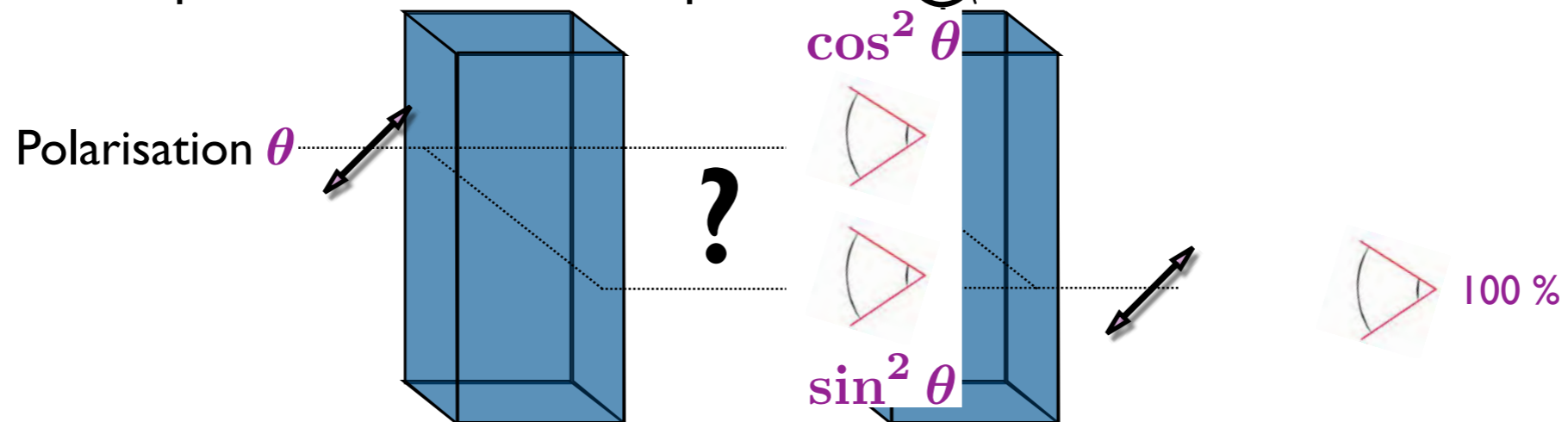
Cristal biréfringent (exemple : Calcite)

- Cristal sépare les polarisation horizontales et verticales



Deux cristaux en cascade (interféromètre)

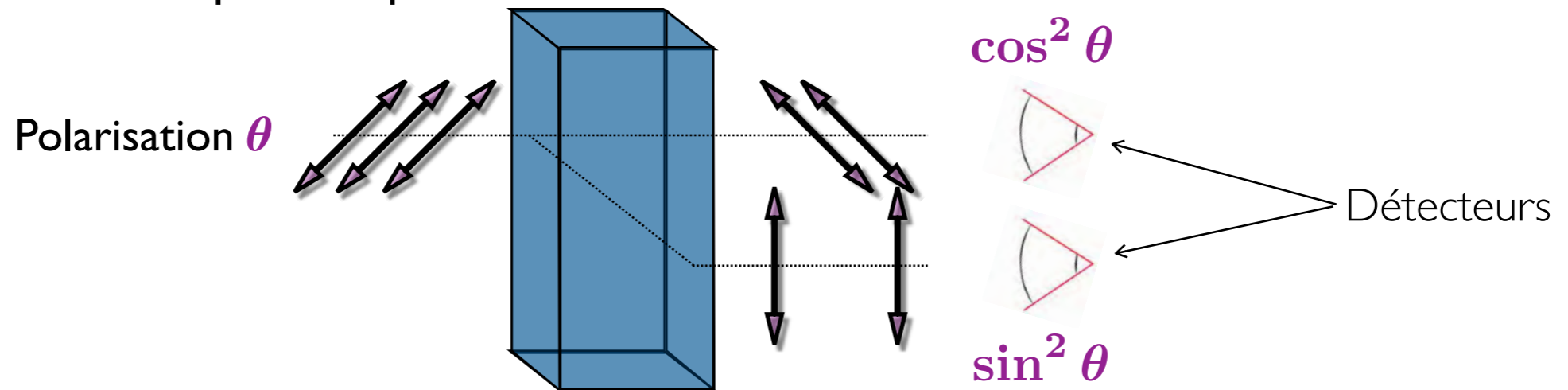
- Par où passent "vraiment" les photons ?



- Observons entre les cristaux : Parfois en haut et parfois en bas

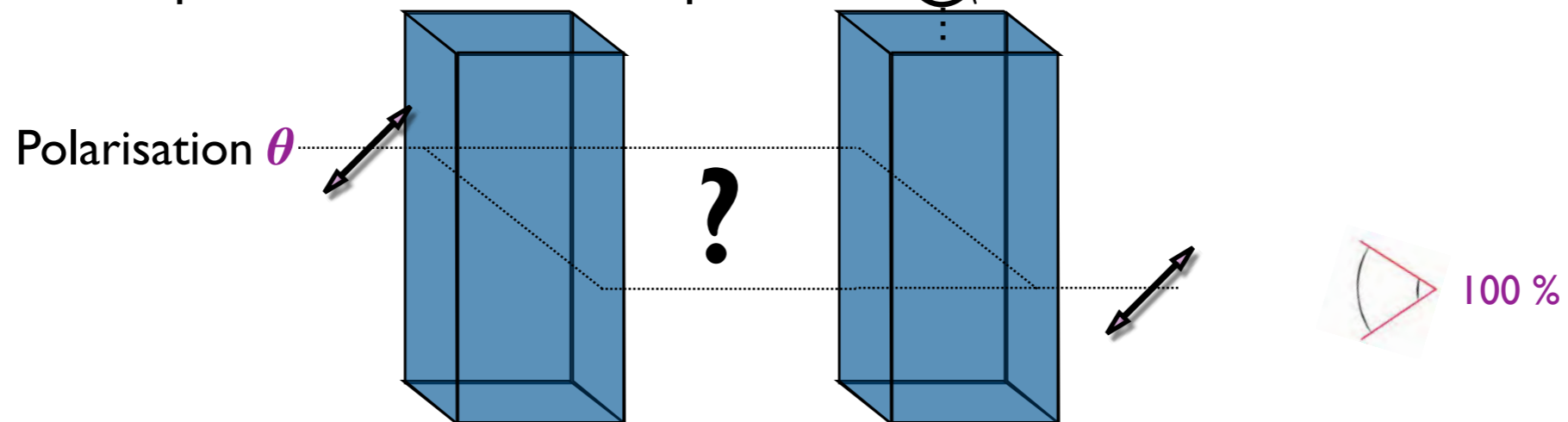
Cristal biréfringent (exemple : Calcite)

- Cristal sépare les polarisation horizontales et verticales



Deux cristaux en cascade (interféromètre)

- Par où passent “vraiment” les photons ?



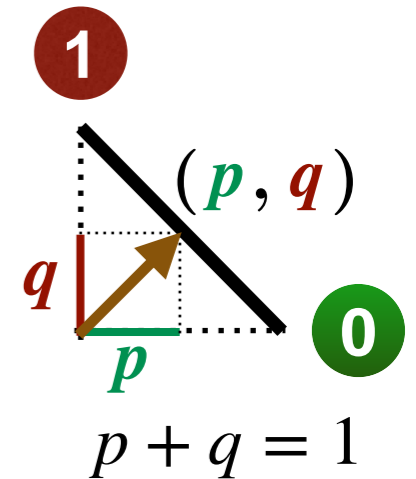
- Observons entre les cristaux : Parfois en haut et parfois en bas
- Mais sans observation entre, le photon ressort toujours avec la polarisation initiale. Ce choix n'est donc pas fait !

Bit classique

- Binary digit (Bit) : 0 ou 1
- Bit probabiliste

(p, q) : "0" avec probabilité p ou "1" avec probabilité q

Description classique



Bit quantique (qubit)

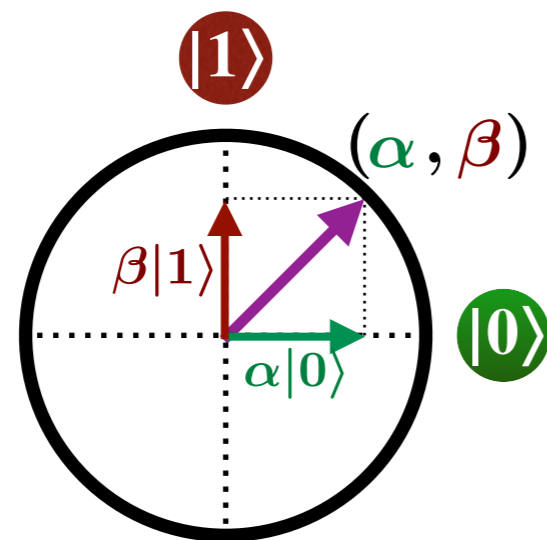
- Réalité quantique en amont de l'observation

(α, β) : "0" avec amplitude α , "1" avec amplitude β

$$(\alpha, \beta) = \alpha|0\rangle + \beta|1\rangle$$

← SUPERPOSITION

Description quantique



$$|\alpha|^2 + |\beta|^2 = 1$$

$$\alpha|0\rangle + \beta|1\rangle$$

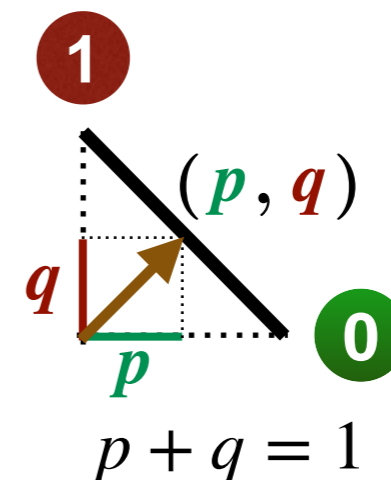
OBSERVATION
ou
MESURE



$$p = \alpha^2$$

$$q = \beta^2$$

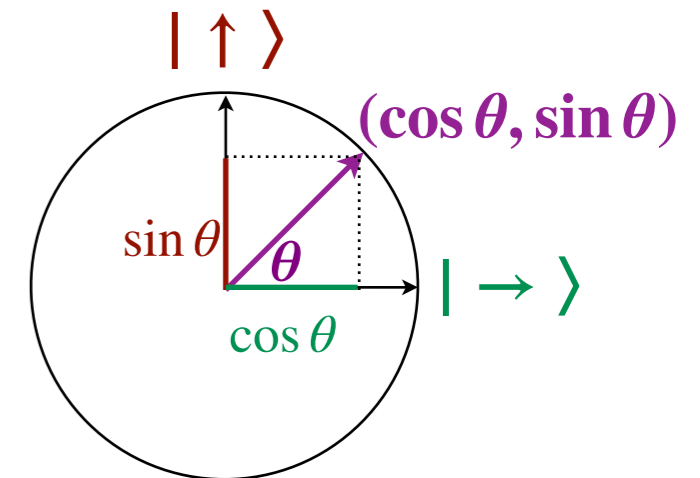
Description classique



Etat quantique

- Polarisation: vecteur à 2 dimensions

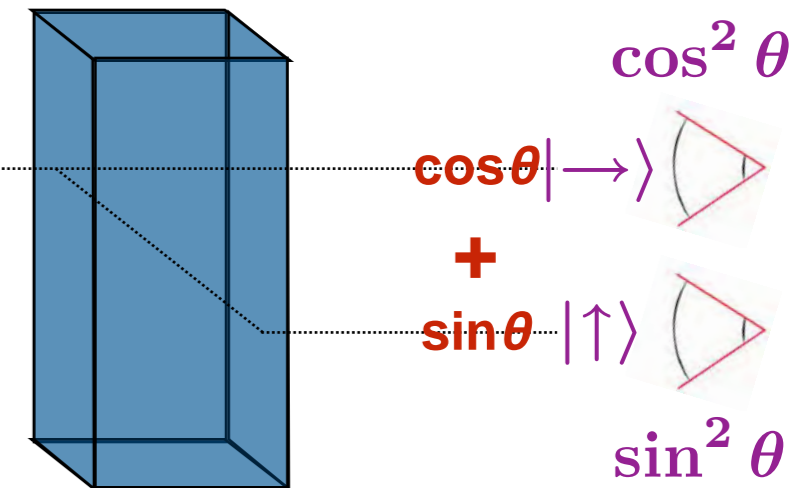
$$(\cos \theta, \sin \theta) = \cos \theta | \rightarrow \rangle + \sin \theta | \uparrow \rangle$$



Mesure

- Calcite crystal
 - sépare les polarisation horizontales et verticales
 - mais aucun filtre n'est fait (\neq filtre polarisant)
- Détecteur de photon force le choix (probabiliste)

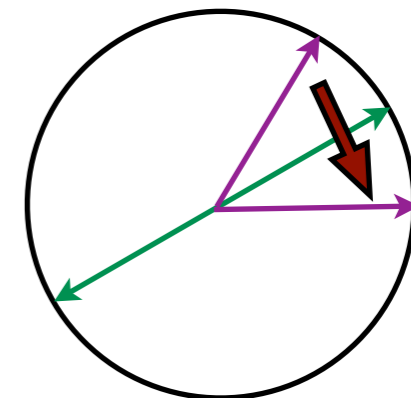
$$(\cos \theta, \sin \theta)$$



Une mesure **modifie** l'état

Transformation de la polarisation

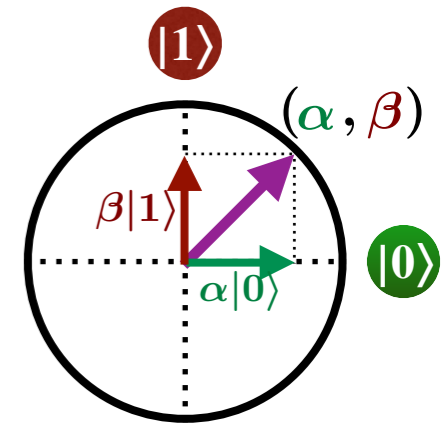
- Lame demi-onde
 - Symétrie orthogonale par rapport à son axe
- Toutes les rotations sont donc possibles !



Etat

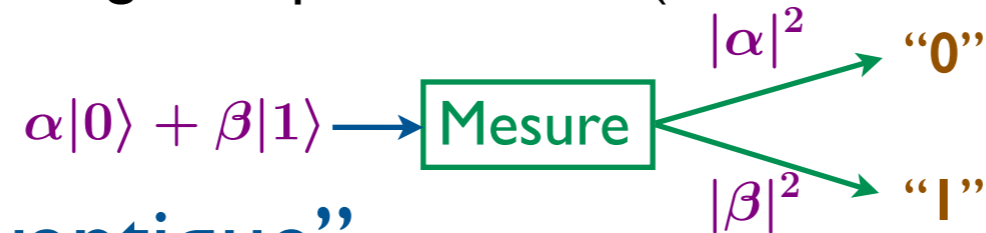
- Vecteur à 2 coordonnées complexes de longueur 1 (unitaire)

$$|\psi\rangle = \begin{pmatrix} \alpha \\ \beta \end{pmatrix} = \alpha|0\rangle + \beta|1\rangle, \quad |\alpha|^2 + |\beta|^2 = 1$$



Mesure

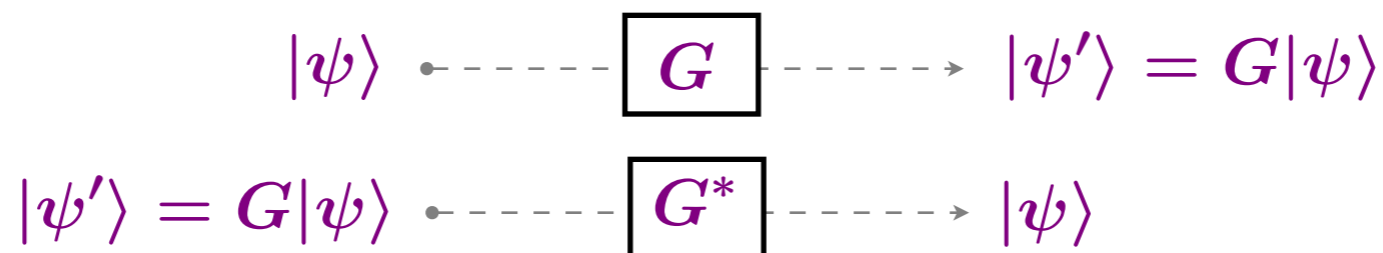
- Projection orthogonale probabiliste (une autre base est possible)



Evolution "quantique"

- Modifie les amplitudes (α, β) en préservant $|\alpha|^2 + |\beta|^2 = 1$
- Linéaire : Si $|0\rangle \mapsto |\psi_0\rangle, |1\rangle \mapsto |\psi_1\rangle$ alors $\alpha|0\rangle + \beta|1\rangle \mapsto \alpha|\psi_0\rangle + \beta|\psi_1\rangle$
- Uniquement symétries et rotations (éventuellement complexes) : REVERSIBLE !
- Notation matricielle (non nécessaire à ce stade)

Matrice unitaire 2x2 : $G = \begin{pmatrix} a & b \\ c & d \end{pmatrix}$ telle que $G^* = \begin{pmatrix} \bar{a} & \bar{c} \\ \bar{b} & \bar{d} \end{pmatrix} = G^{-1}$



Transformations “classiques” réversibles

- Identité : “rien”

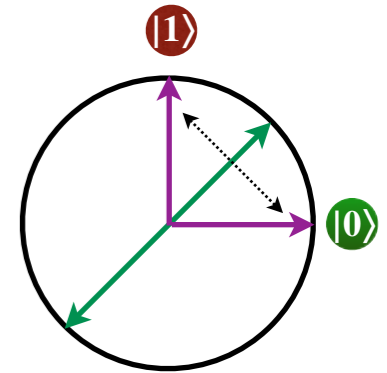


$$\text{Id} = \begin{pmatrix} 1 & 0 \\ 0 & 1 \end{pmatrix} \begin{matrix} |0\rangle \\ |1\rangle \end{matrix}$$

- Négation : symétrie à 45%



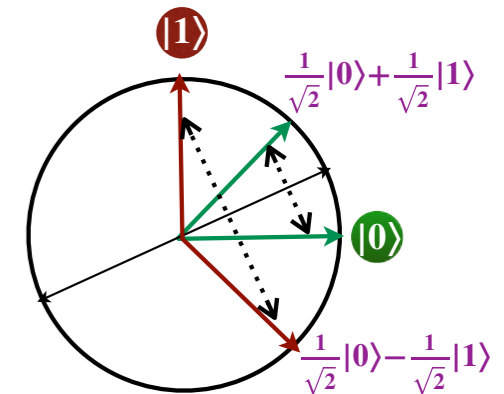
$$\text{NOT} = \begin{pmatrix} 0 & 1 \\ 1 & 0 \end{pmatrix} \begin{matrix} |0\rangle \\ |1\rangle \end{matrix}$$



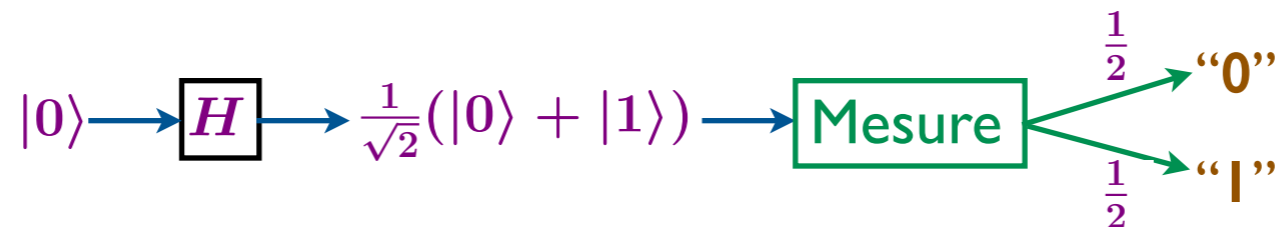
Porte de Hadamard

- Définition: Symétrie à 22,5°:

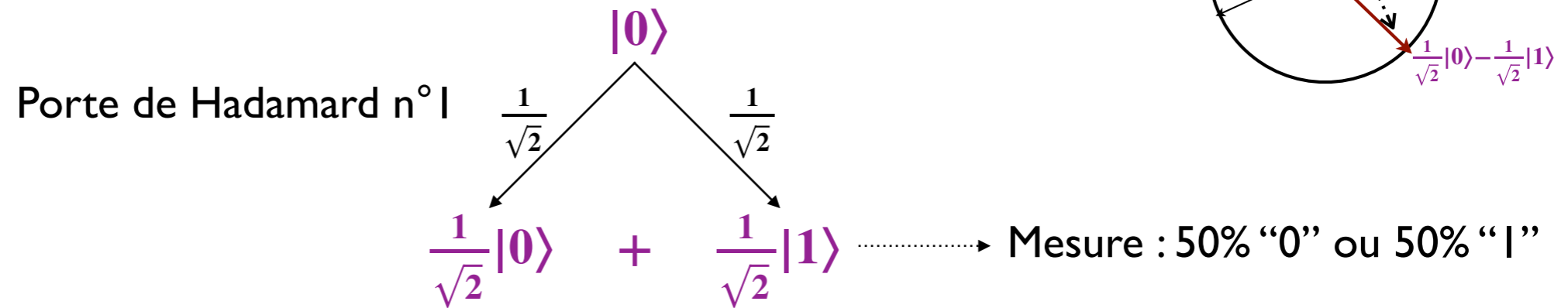
$$H = \frac{1}{\sqrt{2}} \begin{pmatrix} 1 & 1 \\ 1 & -1 \end{pmatrix} \begin{matrix} |0\rangle \\ |1\rangle \end{matrix}$$



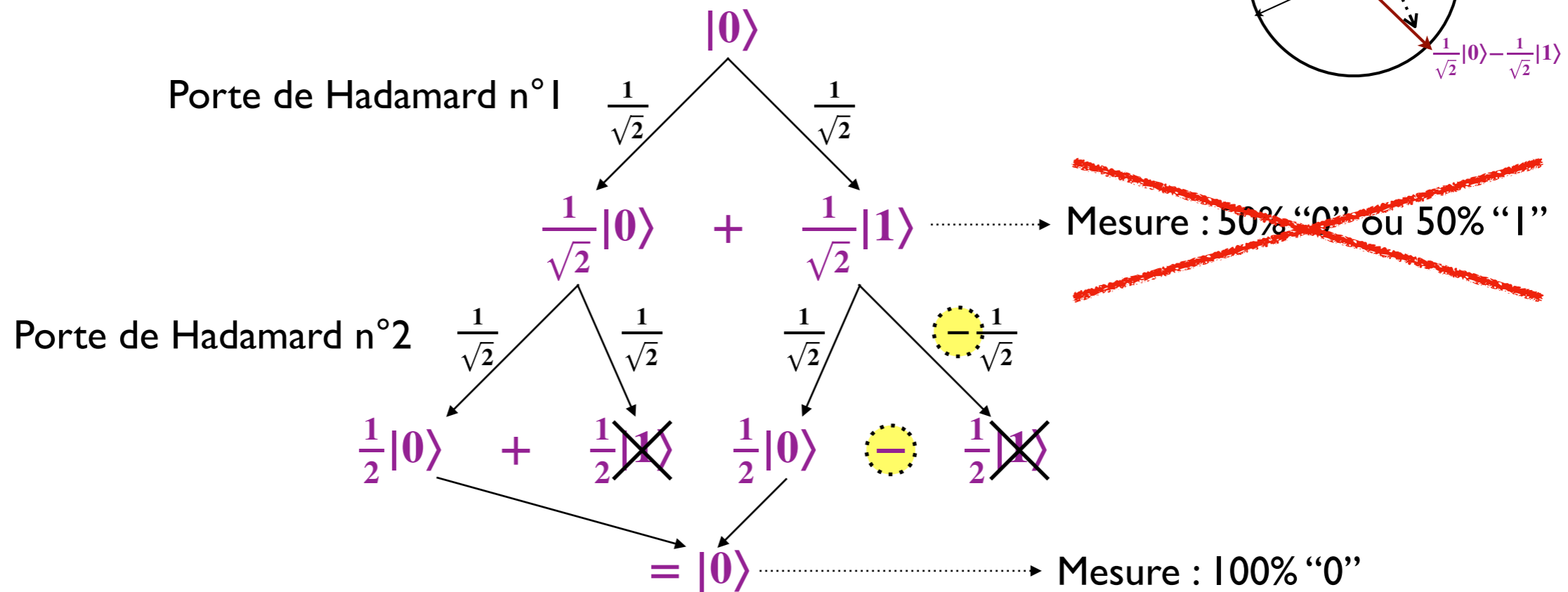
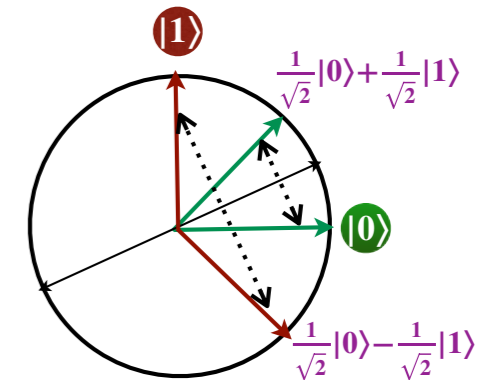
- Propriété: générateur aléatoire quantique



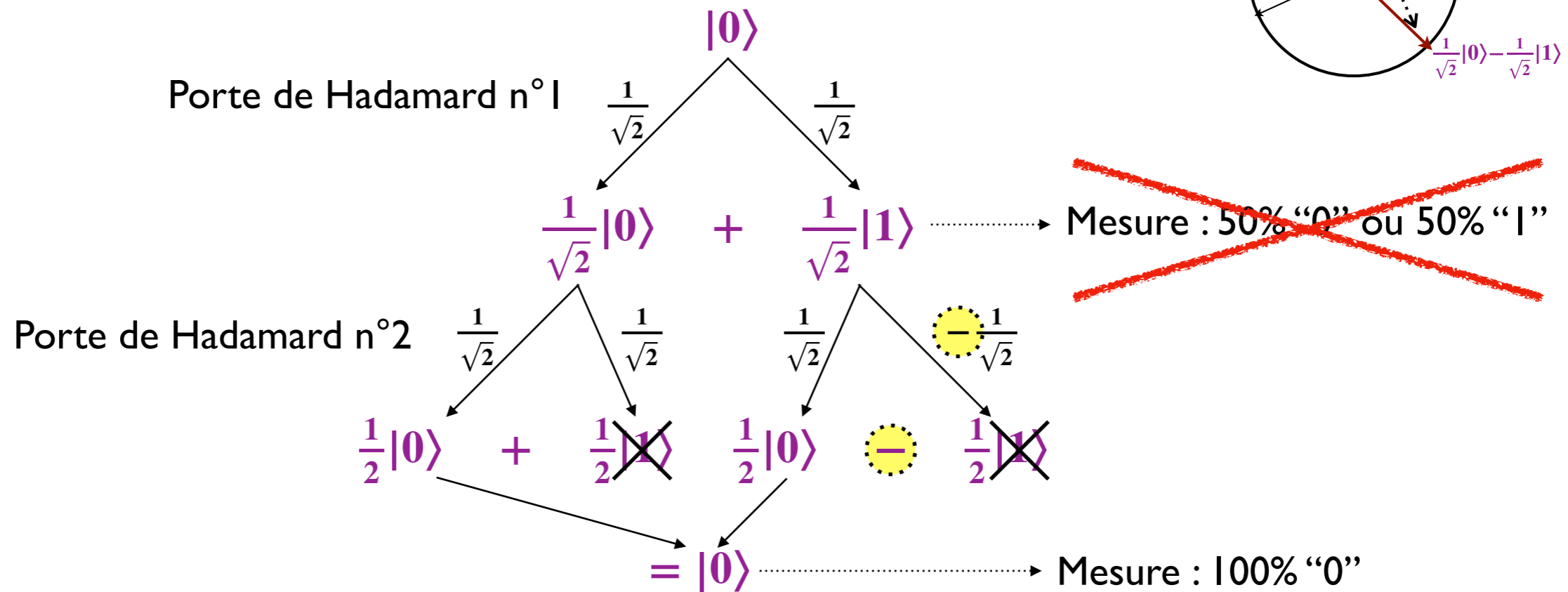
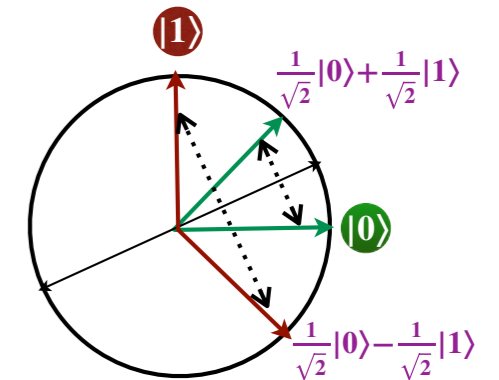
Dispositif simple de type Interféromètre



Dispositif simple de type Interféromètre

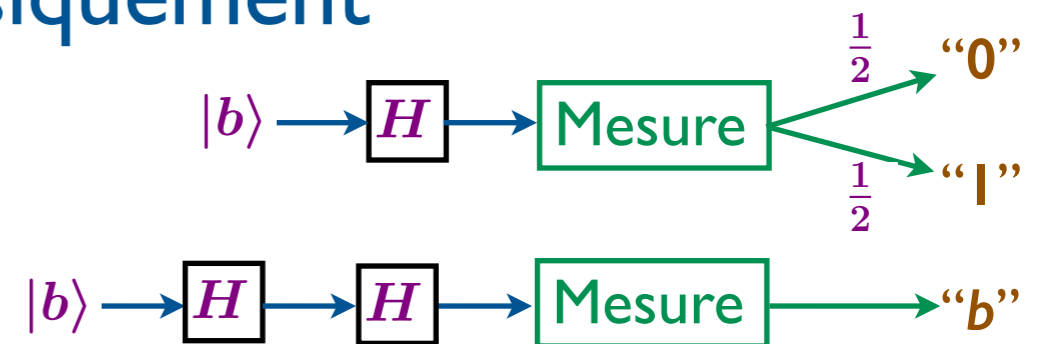


Dispositif simple de type Interféromètre



Comportement impossible classiquement

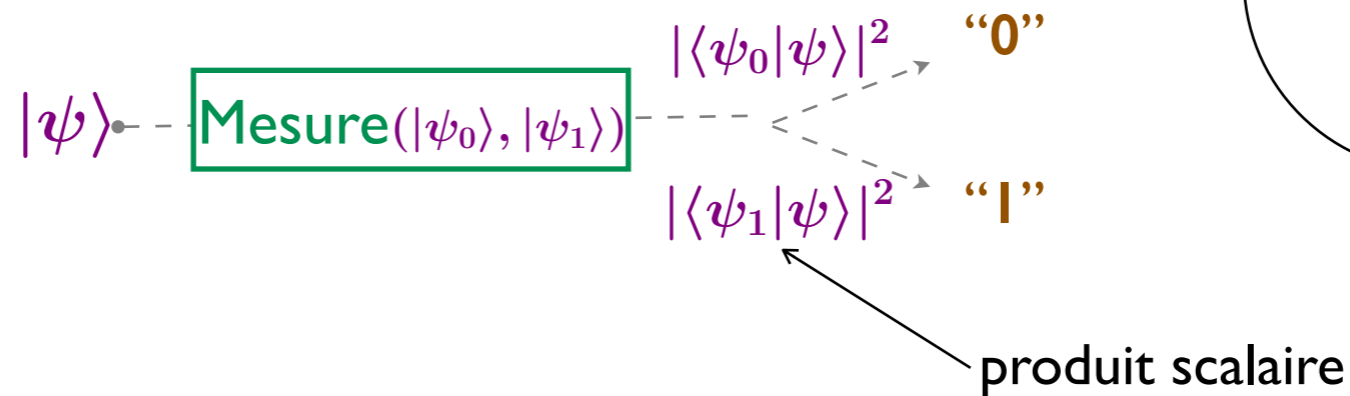
- Sans variable cachée
 - Semaine prochaine
- Inégalités de Bell



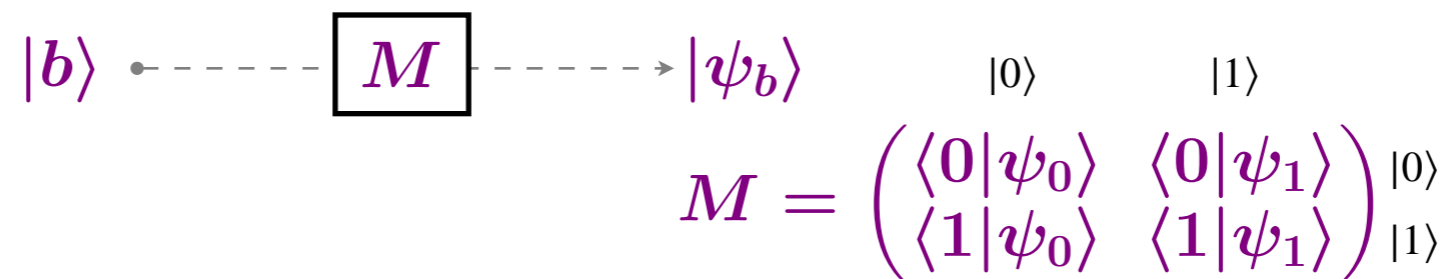
Nouvelle base orthogonale

$$|\psi_0\rangle \perp |\psi_1\rangle$$

Mesure souhaitée



Porte changement de base



Réalisation



En optique : **tourner** le filtre ou le cristal

One-time pad

Message :	0	1	1	0	0	1	0	1	1	1	0
Clé privée :	1	1	0	1	0	0	1	0	1	0	0
XOR bit à bit :	1	0	1	1	0	1	1	1	0	1	0



Washington-Moscow
hotline (1963)

- **Théorème** : Sécurité parfaite si chaque bit de clé est utilisé une seule fois !
- Pour une sécurité parfaite, la clé doit être aussi longue que le message...

Solutions utilisées en pratique

- Permettent d'utiliser plusieurs fois une même et plus petite clé
Exemple : Advanced Encryption Standard (AES)
- Sécurité combinatoire : pas de preuve de sécurité mais semble résister aux tentatives de déchiffrement, y compris quantiques
En pratique, très sûr si la clé n'est pas trop utilisée...
- Utilisation courante : la clé privée est générée à l'aide d'un protocole à clé publique, dont RSA et Diffie-Hellman qui ne résisteraient pas aux attaques quantiques...

Objectif

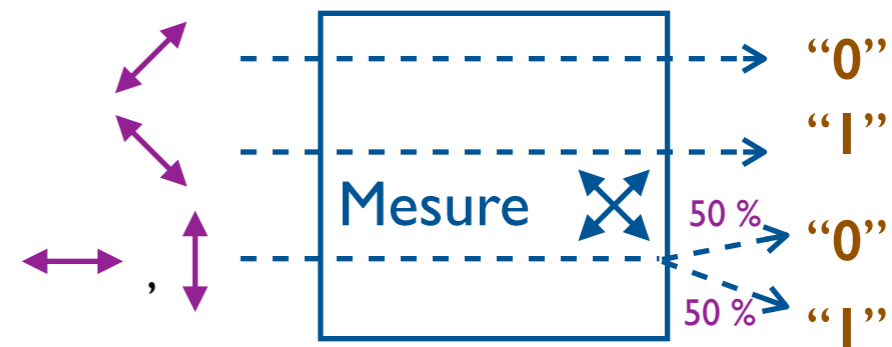
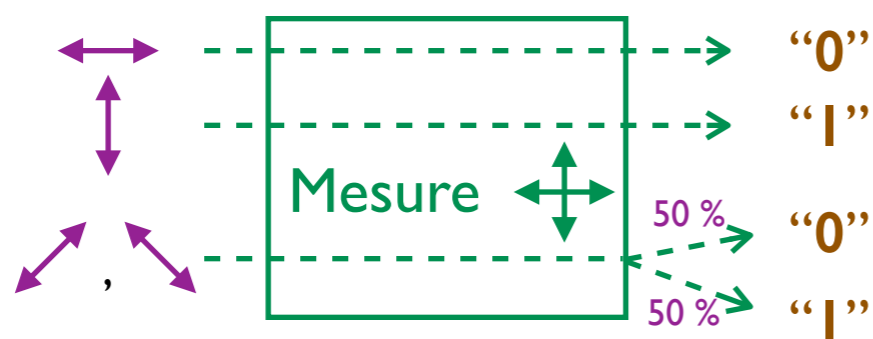


- Initialement : aucune information secrète entre Alice et Bob
- A la fin : une **clé secrète** connue uniquement d'Alice et de Bob

Solutions classiques

- Sécurité **combinatoire**, car toute l'information est sur le canal
- Cependant il est **possible** (outils probabilistes) de :
 - Amplifier/Réconcilier** le secret d'une clé avec erreur et fuite, en en réduisant la taille
 - Identifier** un message avec une clé secrète

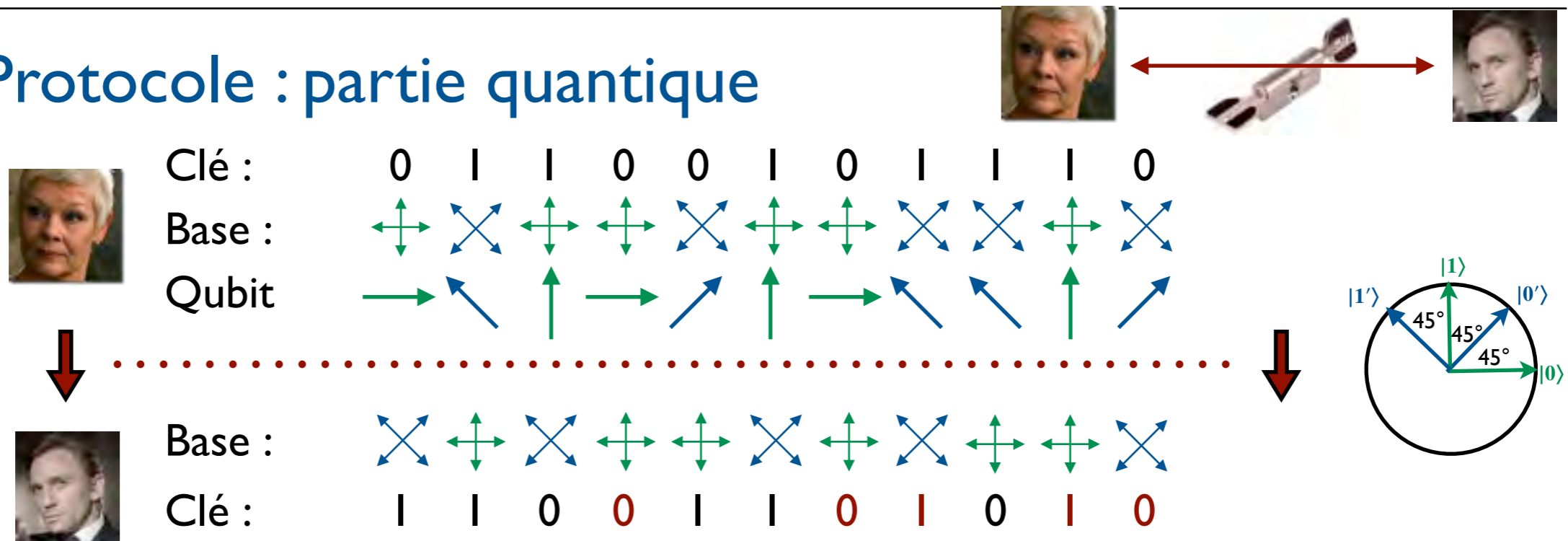
Incertainde liée à la mesure



Impossibilité de cloner

- Impossible de dupliquer un état inconnu
- Preuve utilisant la linéarité des transformations

Protocole : partie quantique



Protocole : partie classique

- **Filtre** : Alice et Bob révèlent publiquement la séquences de bases utilisées
 A&B ne conservent que les bits avec même choix (proba. 1/2)
 Si aucune observation de la communication \rightarrow A&B ont la même clé !
- **Sécurité** : A&B vérifient que leurs clés ont peu d'erreurs (<11%) en échangeant une partie aléatoire publiquement
- **Réconciliation** : A&B utilisent des techniques de codes correcteurs classiques pour corriger les erreurs sur les autres bits
- **Amplification** : A&B réduisent les fuites potentielles vers un espion en utilisant une fonction de hachage qui réduit la taille de la clé
- **Au final** : la clé est identique, mais réduite, et la perte d'information très petite

Authentification

- Ligne authentifiée : Génération de clé sans secret initial
- Ligne non-authentifiée : Petite clé secrète \Rightarrow grande clé secrète

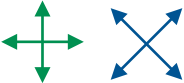
Utilisation I

- Avec la clé obtenue, encoder un texte de même longueur en utilisant le codage “one-time pad”
- Une fois utilisée, la clé est jetée...

Utilisation II

- Utiliser la clé secrète dans des applications cryptographiques qui utilisent une clé petite, éventuellement plusieurs fois (exemple :AES)
- Attention : la sécurité n'est plus inconditionnelle

Stratégie I

- Eve observe chaque qubit dans une des bases 
- Eve renvoie le qubit encodé dans la même base



Question 2

- Quel est le taux d'erreur généré ?

Considérons un bit conservé après filtrage.

Avec probabilité 1/2 Eve fait le bon choix, et ne génère aucune erreur.

Avec probabilité 1/2, Eve fait le mauvais choix.

Son bit et celui de Bob sont aléatoires et indépendants, donc Bob lit une valeur différente d'Alice avec probabilité 1/2.

Il y a donc un taux d'erreur d' $1/4 = 25\%$.

- Quelle portion de clé secrète d'Alice est apprise ?

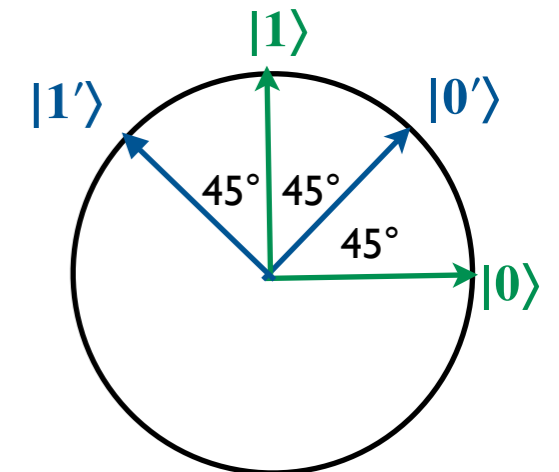
Considérons un bit conservé après filtrage.

Avec probabilité 1/2 Eve fait le bon choix, et apprend le bon bit.

Avec probabilité 1/2, Eve fait le mauvais choix.

Son bit est aléatoire, et donc correspond à celui d'Alice avec probabilité 1/2.

Chaque bit de clé d'Alice est donc appris avec probabilité $1/2 + 1/4 = 75\%$.



Stratégie I

- Eve observe chaque qubit dans la base tournée de $\theta = 22,5^\circ$
- Eve renvoie $|\psi_b\rangle$ observé quand elle observe b



Question 2

- Quel est le taux d'erreurs générées ?

Considérons un bit conservé après filtrage.

Il y a 2 façon de faire une erreur.

Eve lit l'opposé du bit d'Alice (proba. $\sin^2 \theta$), et Bob lit la même valeur qu'Eve (proba. $\cos^2 \theta$).

Eve lit le même bit que celui d'Alice (proba. $\cos^2 \theta$), et Bob lit la valeur opposée d'Eve (proba. $\sin^2 \theta$).

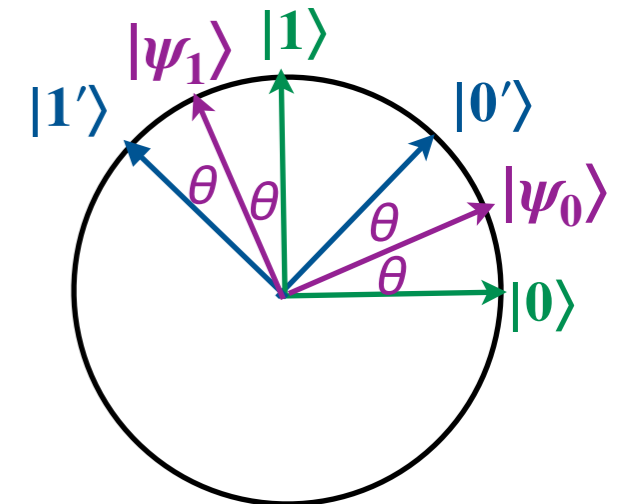
Soit au final $2\sin^2 \theta \cos^2 \theta = 25\%$ (comme précédemment).

- Quelle portion de clé secrète d'Alice est apprise ?

Considérons un bit conservé après filtrage.

La probabilité qu'Eve lise le même bit que celui choisi par Alice est proba. $\cos^2 \theta$.

Chaque bit de clé d'Alice est donc appris avec probabilité $\cos^2 \theta \approx 85,4\%$ (au lieu de 75%).



Etat n -qubit

- $|\psi\rangle \in \mathbb{C}^{\{0,1\}^n}$ tel que $\| |\psi\rangle \| = 1$

$$|\psi\rangle = \sum_{x \in \{0,1\}^n} \alpha_x |x\rangle \quad \text{avec} \quad \sum_{x \in \{0,1\}^n} |\alpha_x|^2 = 1$$

- Exemples

Etat séparé : $(|00\rangle + |01\rangle)/\sqrt{2} = |0\rangle(|0\rangle + |1\rangle)/\sqrt{2}$

Etat enchevêtré (EPR) : $(|00\rangle + |11\rangle)/\sqrt{2} \neq |\psi_0\rangle|\psi_1\rangle$

Mesure

- Projection orthogonale probabiliste



Evolution

- Transformation unitaire $G \in \mathcal{U}(2^n)$ ($G \in \mathbb{C}^{2^n \times 2^n}$ s.t. $G^*G = \text{Id}$)



Théorème

- Il n'existe pas d'opération unitaire qui réalise

$$G(|\psi\rangle|0\rangle) = |\psi\rangle|\psi\rangle$$

Preuve par l'absurde : clonage d'un qubit

- Hypothèses

$$G(|0\rangle|0\rangle) = |0\rangle|0\rangle$$

$$G(|1\rangle|0\rangle) = |1\rangle|1\rangle$$

$$G\left(\left(\frac{|0\rangle + |1\rangle}{\sqrt{2}}\right)|0\rangle\right) = \left(\frac{|0\rangle + |1\rangle}{\sqrt{2}}\right)\left(\frac{|0\rangle + |1\rangle}{\sqrt{2}}\right) = \left(\frac{|0\rangle|0\rangle + |0\rangle|1\rangle + |1\rangle|0\rangle + |1\rangle|1\rangle}{2}\right)$$

- Linéarité de G

$$G\left(\left(\frac{|0\rangle + |1\rangle}{\sqrt{2}}\right)|0\rangle\right) = \left(\frac{G(|0\rangle|0\rangle) + G(|1\rangle|0\rangle)}{\sqrt{2}}\right) = \left(\frac{|0\rangle|0\rangle + |1\rangle|1\rangle}{\sqrt{2}}\right)$$

- Contradiction !

Définition

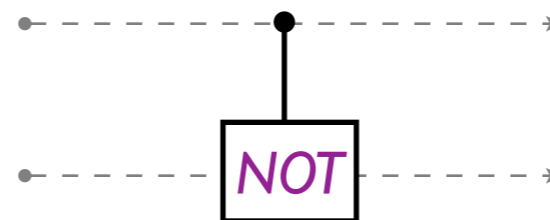
- $c\text{-NOT}|0b\rangle = |0b\rangle$
- $c\text{-NOT}|1b\rangle = |1\rangle|(1 - b)\rangle$
- $c\text{-NOT}|ab\rangle = |a\rangle|a \oplus b\rangle$

$$c\text{-NOT} = \begin{matrix} & |00\rangle & |01\rangle & |10\rangle & |11\rangle \\ \begin{matrix} |00\rangle \\ |01\rangle \\ |10\rangle \\ |11\rangle \end{matrix} & \begin{pmatrix} 1 & 0 & 0 & 0 \\ 0 & 1 & 0 & 0 \\ 0 & 0 & 0 & 1 \\ 0 & 0 & 1 & 0 \end{pmatrix} \end{matrix}$$

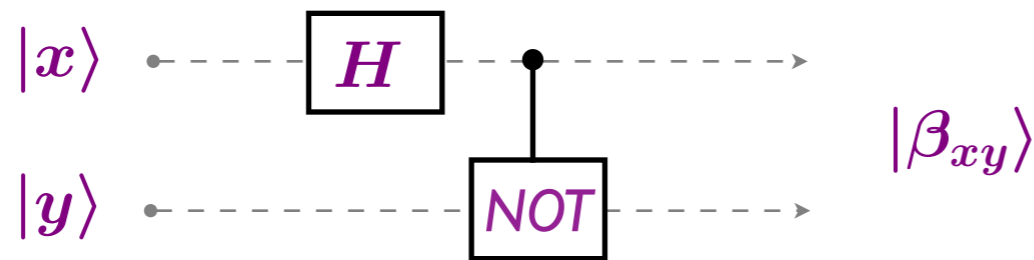
Représentation

bit de contrôle

bit de destination



Résultat



$$|\beta_{00}\rangle = \frac{1}{\sqrt{2}}(|00\rangle + |11\rangle)$$

$$|\beta_{01}\rangle = \frac{1}{\sqrt{2}}(|01\rangle + |10\rangle)$$

$$|\beta_{10}\rangle = \frac{1}{\sqrt{2}}(|00\rangle - |11\rangle)$$

$$|\beta_{11}\rangle = \frac{1}{\sqrt{2}}(|01\rangle - |10\rangle)$$

Preuve : cas $xy=11$

- Etat initial

$$|11\rangle = |1\rangle|1\rangle$$

- Hadamard sur le 1er qubit

$$(H|1\rangle)|1\rangle = \left(\frac{|0\rangle - |1\rangle}{\sqrt{2}}\right)|1\rangle = \frac{|01\rangle - |11\rangle}{\sqrt{2}}$$

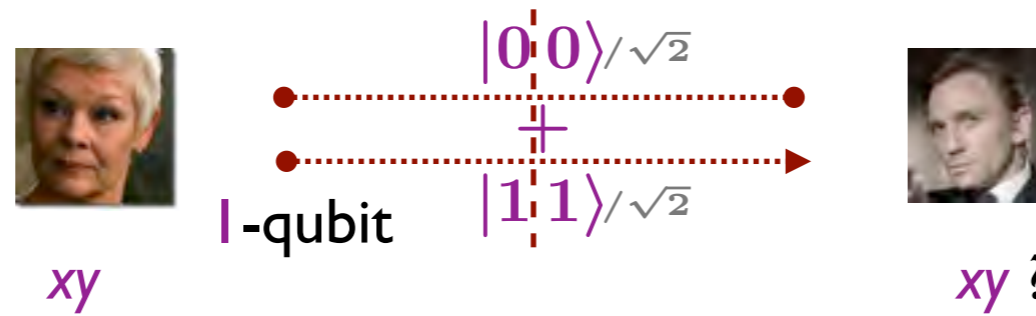
- Control-Not

$$\text{c-NOT}\left(\frac{|01\rangle - |11\rangle}{\sqrt{2}}\right) = \frac{(\text{c-NOT}(|01\rangle) - \text{c-NOT}(|11\rangle))}{\sqrt{2}} = \frac{|01\rangle - |10\rangle}{\sqrt{2}}$$

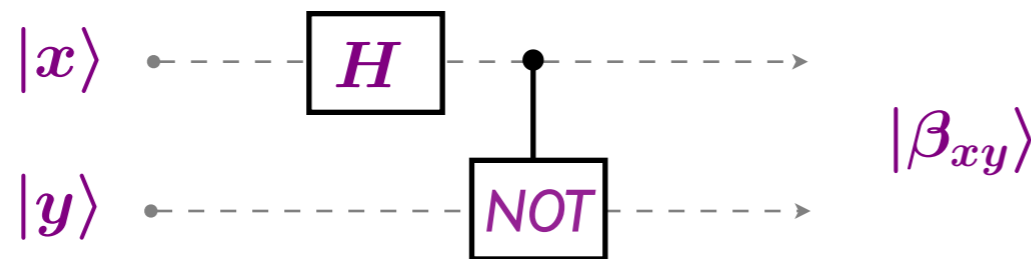
[Bennett, Wiesner' 1992]

Objectif

- Alice & Bob partagent un état EPR : $|\beta_{00}\rangle = \frac{1}{\sqrt{2}}(|00\rangle + |11\rangle)$
- Alice veut envoyer deux bits xy à Bob
- Mais Alice ne peut envoyer qu'un qubit à Bob



Changement de base de Bell



$$\begin{aligned}
 |\beta_{00}\rangle &= \frac{1}{\sqrt{2}}(|00\rangle + |11\rangle) \\
 |\beta_{01}\rangle &= \frac{1}{\sqrt{2}}(|01\rangle + |10\rangle) \\
 |\beta_{10}\rangle &= \frac{1}{\sqrt{2}}(|00\rangle - |11\rangle) \\
 |\beta_{11}\rangle &= \frac{1}{\sqrt{2}}(|01\rangle - |10\rangle)
 \end{aligned}$$

Protocole

- Alice applique **NOT** sur son qubit si $y=1$; et **FLIP** si $x=1$
- Alice envoie son qubit à Bob
- Bob fait un changement de base de Bell inverse et observe xy

$$\text{FLIP} = \begin{pmatrix} 1 & 0 \\ 0 & -1 \end{pmatrix} \begin{matrix} |0\rangle \\ |1\rangle \end{matrix}$$

Mesure du premier qubit

Projecteur $P_0 = |00\rangle\langle 00| + |01\rangle\langle 01| = |0\rangle\langle 0| \otimes I_2$

$P_1 = |10\rangle\langle 10| + |11\rangle\langle 11| = |1\rangle\langle 1| \otimes I_2$

$$P_0 \overset{\perp}{\oplus} P_1 = Id$$

projecteur orthogonal

- Mesure du premier qubit → projection du deuxième

$|\psi\rangle = a|00\rangle + b|01\rangle + c|10\rangle + d|11\rangle$ •----- **Mesure I** -----

$\|P_0|\psi\rangle\|^2 = a^2 + b^2$

Résultat : "0"

 $\frac{1}{\|P_0|\psi\rangle\|} P_0|\psi\rangle = |0\rangle \frac{a|0\rangle + b|1\rangle}{\sqrt{a^2 + b^2}}$

$\|P_1|\psi\rangle\|^2 = c^2 + d^2$

Résultat : "1"

 $\frac{1}{\|P_1|\psi\rangle\|} P_1|\psi\rangle = |1\rangle \frac{c|0\rangle + d|1\rangle}{\sqrt{c^2 + d^2}}$

Interprétation

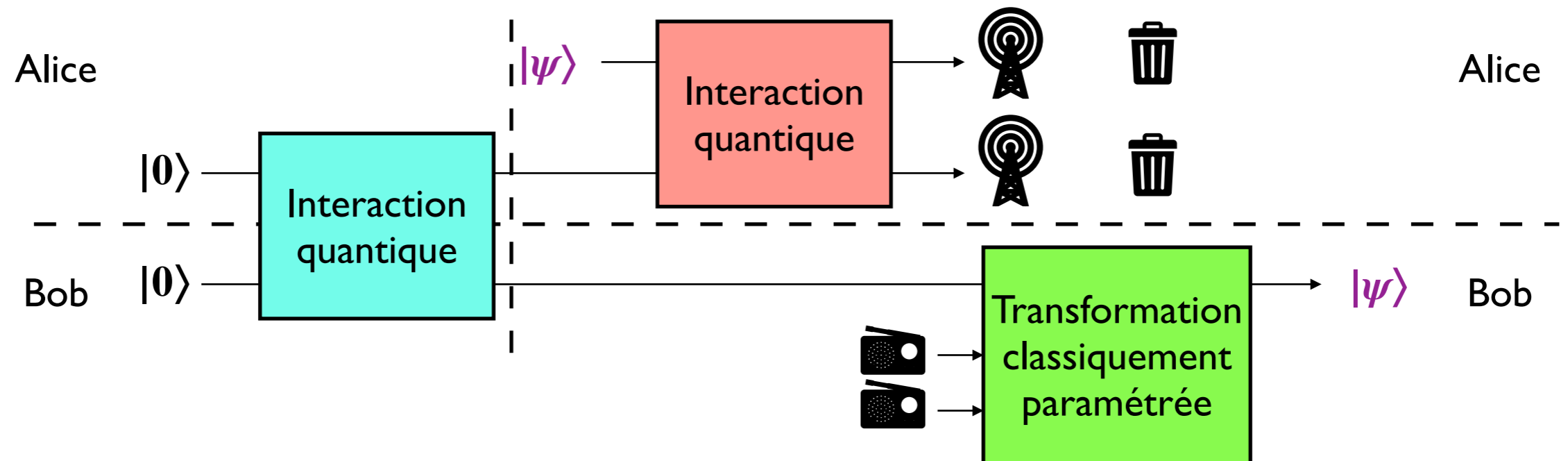
- Mesure partielle projette sur le sous-espace compatible avec l'opération
 - Probabilité = carré de la norme de la projection
 - Sortie = re-normalisation de la projection

[Bennett, Brassard, Crépeau, Jozsa, Peres, Wootters'93]

Problème

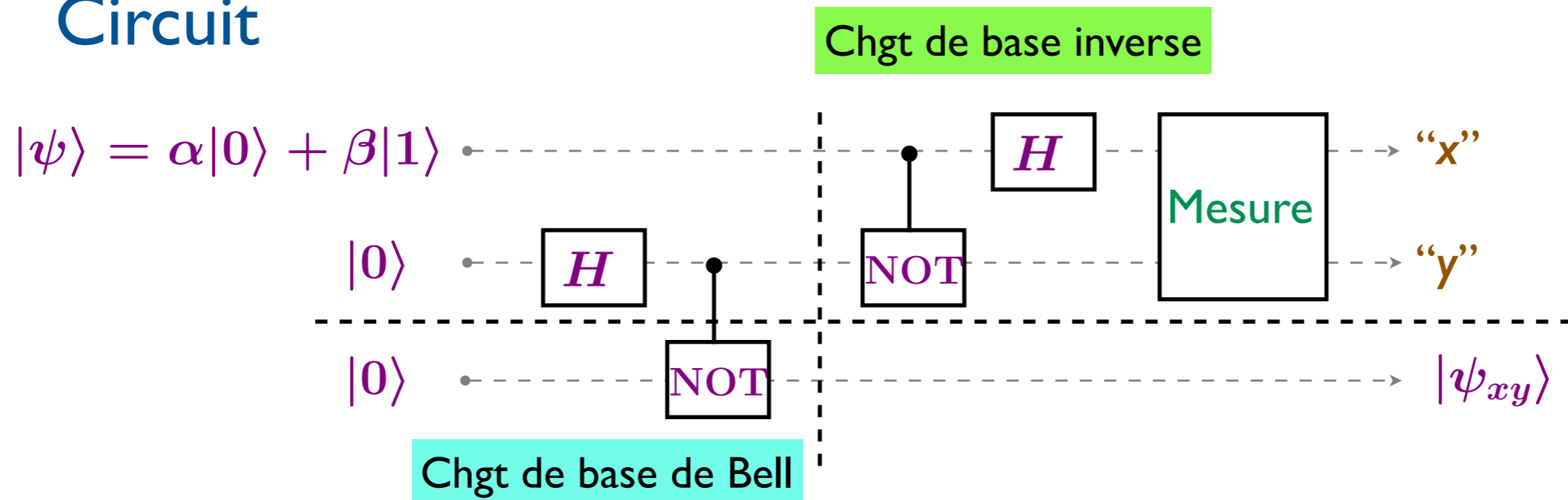
- Alice veut transmettre un qubit $|\psi\rangle$ à Bob
- Bob: position éloignée et inconnue d'Alice
- Broadcast classique possible : **classique à sens unique** Alice \rightarrow Bob

Réalisation



- La communication classique ne révèle rien sur l'état $|\psi\rangle$!

Circuit



Analyse

- Etat final $\frac{1}{2} \sum_{x,y} |xy\rangle |\psi_{xy}\rangle$ avec $|\psi_{xy}\rangle = (\text{NOT})^y (\text{FLIP})^x |\psi\rangle$

Preuve :

$$\begin{aligned}
 |\psi\rangle |0\rangle |0\rangle &\mapsto \frac{1}{\sqrt{2}} (\alpha|0\rangle + \beta|1\rangle) (|0\rangle|0\rangle + |1\rangle|1\rangle) \\
 &= \frac{1}{2} |\beta_{00}\rangle (\alpha|0\rangle + \beta|1\rangle) \\
 &\quad + \frac{1}{2} |\beta_{01}\rangle (\alpha|1\rangle + \beta|0\rangle) \\
 &\quad + \frac{1}{2} |\beta_{10}\rangle (\alpha|0\rangle - \beta|1\rangle) \\
 &\quad + \frac{1}{2} |\beta_{11}\rangle (\alpha|1\rangle - \beta|0\rangle)
 \end{aligned}$$

- En mesurant x,y , le 3e qubit est projeté sur $|\psi_{xy}\rangle$
- En apprenant x,y , Bob peut corriger $|\psi_{xy}\rangle$ en $|\psi\rangle$

Remarque

- Le circuit de téléportation



est en fait une porte Identité, et donc quantique

Application

- Etant donné un système à n -qubit
Que se passe-t-il si chaque qubit est téléporté ?
- Il s'agit toujours d'une opération unitaire (i.e. quantique)
- Sur les états séparés, par exemple les états classiques
 $|x\rangle = |x_1, x_2, \dots, x_n\rangle$,
chaque bit est bien transmis
- Par linéarité de l'opération...
toute superposition est aussi transmise !

Difficulté ?

- En pratique, il faut que toute l'opération reste unitaire

Initiatives pédagogiques

- Quantum game : <https://quantumgame.io/>
- Initiatives pédagogiques européennes :
<https://qworld.lu.lv>
<https://www.quantum-quest.nl>
<https://algassert.com/quirk>

Protocole quantique de distribution de clé

- *A largely self-contained and complete security proof for quantum key distribution.* Tomamichel, Leverrier
<https://arxiv.org/abs/1506.08458>
- Un Mooc avec Vidick et Wehner
<https://ocw.tudelft.nl/courses/quantum-cryptography/>

Séminaire du cours !

- Réseaux de communication quantique
avec Eleni Diamanti, CNRS, Paris